

Physik 3 für Informatik

Einführung in die Digitalelektronik

für den Studiengang Informatik
im Fachbereich 2 - Informatik und Ingenieurwissenschaften
der Fachhochschule Frankfurt am Main

Prof. Dr. Erik Jacobson

Wintersemester 2001/2002

Belegnummer 06 1301

Kapitel 1

Grundlagen der Digitalelektronik

1.1 Boole'sche Algebra

1.1.1 Definition

Einfachste Algebra mit

- 2 Elementen: $\{0, 1\}$ $\{L, H\}$ $\{O, L\}$

- 3 Grund-Operationen:

- unäre Operation:

Komplement, Negation, NICHT, NOT,

$$\begin{array}{c|c} x & \bar{x} \\ \hline 0 & 1 \\ 1 & 0 \end{array}$$

- binäre Operationen:

Disjunktion, ODER, OR,

$f(x,y) = \text{Max}(x,y) = x + y$

$$\begin{array}{cc|c} x \vee y & \rightarrow & z \\ \hline 0 & 0 & 0 \\ 0 & 1 & 1 \\ 1 & 0 & 1 \\ 1 & 1 & 1 \end{array}$$

Konjunktion, UND, AND,

$f(x,y) = \text{Min}(x, y) = x \cdot y$

$$\begin{array}{cc|c} x \wedge y & \rightarrow & z \\ \hline 0 & 0 & 0 \\ 0 & 1 & 0 \\ 1 & 0 & 0 \\ 1 & 1 & 1 \end{array}$$

- Zusammengesetzte binäre Operationen (2 Beispiele):

Äquivalenz,

$f(x, y) = x \cdot y + \bar{x} \cdot \bar{y}$

$$\begin{array}{cc|c} x \equiv y & \rightarrow & z \\ \hline 0 & 0 & 1 \\ 0 & 1 & 0 \\ 1 & 0 & 0 \\ 1 & 1 & 1 \end{array}$$

Antivalenz, Exklusives Oder, XOR,

$f(x, y) = x \cdot \bar{y} + \bar{x} \cdot y$

$$\begin{array}{cc|c} x \oplus y & \rightarrow & z \\ \hline 0 & 0 & 0 \\ 0 & 1 & 1 \\ 1 & 0 & 1 \\ 1 & 1 & 0 \end{array}$$

Gesetze der Boole'schen Algebra:

Assoziativgesetz $(x + y) + z = x + (y + z) = x + y + z$
 $(x \cdot y) \cdot z = x \cdot (y \cdot z) = x \cdot y \cdot z$
 $(x \oplus y) \oplus z = x \oplus (y \oplus z) = x \oplus y \oplus z$

Kommutativgesetz $x + y = y + x$
 $x \cdot y = y \cdot x$
 $x \oplus y = y \oplus x$

Distributivgesetz $x \cdot (y + z) = (x \cdot y) + (x \cdot z)$
 $x + (y \cdot z) = (x + y) \cdot (x + z)$

De Morgansche Regeln $\overline{(x + y)} = \bar{x} \cdot \bar{y}$
 $\overline{(x \cdot y)} = \bar{x} + \bar{y}$

Absorptionsregeln $x + \bar{x} = 1$ $x \cdot \bar{x} = 0$ $x \oplus \bar{x} = 1$
 $x + x = x$ $x \cdot x = x$ $x \oplus x = 0$
 $x + x \cdot y = x$ $x \cdot (x + y) = x$

Neutrale Elemente

0 bezüglich OR (+) : $x + 0 = x$ $x \cdot 0 = 0$ $x \oplus 0 = x$
1 bezüglich AND (\cdot) : $x \cdot 1 = x$ $x + 1 = 1$ $x \oplus 1 = \bar{x}$

1.1.2 Boole'sche Funktionen

Abbildung von m logischen Werten auf n logische Werte

$$B^m \rightarrow B^n \text{ mit } B = \{0, 1\}$$

dargestellt durch Funktionen: $\begin{Bmatrix} x \\ y \end{Bmatrix} = \begin{Bmatrix} f_1(a, b, c) \\ f_2(a, b, c) \end{Bmatrix}$

oder durch Wertetabellen,

zum Beispiel:

a	b	c	x	y
0	0	0	0	1
0	0	1	1	1
0	1	0	1	0
0	1	1	0	1
1	0	0	1	0
1	0	1	1	1
1	1	0	0	1
1	1	1	0	0

1.1.3 Normalformen

Erstellung von Boole'schen Funktionen aus Wertetabellen.

Vollständige Normalformen enthalten in allen Funktionstermen alle Variablen (oder deren Inverse). Sie können meist unter Anwendung der Gesetze der Boole'schen Algebra oder mit Hilfe von KV-Diagrammen zu kompakten (reduzierten) Normalformen vereinfacht werden.

1.1.3.1 Disjunktive Normalform

DNF (Min-Terme)

- Tabellenzeilen mit Funktionswert '1' liefern einen Funktionsterm (Min-Term)
- Funktionsterme werden aus den Eingangsvariablen mit UND verknüpft
- alle Funktionsterme werden mit ODER verknüpft
- DNF = $\Sigma \Pi x_i$ (Summe von Produkten)

1.1.3.2 Konjunktive Normalform

KNF (Max-Terme)

- Tabellenzeilen mit Funktionswert '0' liefern einen Funktionsterm (Max-Term)
- Funktionsterme werden aus den invertierten Eingangsvariablen mit ODER verknüpft
- alle Funktionsterme werden mit UND verknüpft
- KNF = $\Pi \Sigma \bar{x}_i$ (Produkt über Summen)

1.1.3.3 Beispiel

a	b	c	x
0	0	0	0
0	0	1	1
0	1	0	1
0	1	1	0
1	0	0	1
1	0	1	1
1	1	0	0
1	1	1	0

.Disjunktive Normalform:

$$x = \bar{a} \cdot \bar{b} \cdot c + \bar{a} \cdot b \cdot \bar{c} + a \cdot \bar{b} \cdot \bar{c} + a \cdot \bar{b} \cdot c \text{ (vollständige DNF)}$$

$$x = \bar{a} \cdot b \cdot \bar{c} + \bar{b} \cdot c + a \cdot \bar{b} \cdot \bar{c} \text{ (reduzierte DNF)}$$

(Absorption von $(a + \bar{a}) = 1$)

oder

$$x = \bar{a} \cdot b \cdot \bar{c} + a \cdot \bar{b} + \bar{a} \cdot \bar{b} \cdot c \text{ (reduzierte DNF)}$$

(Absorption von $(c + \bar{c}) = 1$)

oder (nach Verdopplung von $a \cdot \bar{b} \cdot c$)

$$x = a \cdot \bar{b} \cdot c + \bar{a} \cdot \bar{b} \cdot c + \bar{a} \cdot b \cdot \bar{c} + a \cdot \bar{b} \cdot \bar{c} + a \cdot \bar{b} \cdot c$$

$$x = \bar{b} \cdot c + \bar{a} \cdot b \cdot \bar{c} + a \cdot \bar{b}$$

Konjunktive Normalform:

$$x = (a + b + c) \cdot (a + \bar{b} + \bar{c}) \cdot (\bar{a} + \bar{b} + c) \cdot (\bar{a} + \bar{b} + \bar{c})$$

1.1.4 Karnaugh-Veitch-Diagramme (KV-Diagramme)

Erstellung von Minimalen Disjunktiven Normalformen (MDNF) in vier Schritten:

a) Erstellung des KV-Diagrammrahmens nach folgender Regel:

Die (n) Variablen werden paarweise mit ihrer Negation in Spalten und Zeilen einer Matrix angeordnet derart, daß Quadrate (falls n gerade ist) oder Rechtecke (falls n ungerade ist)

	x_3		\bar{x}_3	
	x_1	\bar{x}_1	\bar{x}_1	x_1
x_2	$x_1 x_2 x_3$	$\bar{x}_1 x_2 x_3$	$\bar{x}_1 x_2 \bar{x}_3$	$x_1 x_2 \bar{x}_3$
\bar{x}_2	$x_1 \bar{x}_2 x_3$	$\bar{x}_1 \bar{x}_2 x_3$	$\bar{x}_1 \bar{x}_2 \bar{x}_3$	$x_1 \bar{x}_2 \bar{x}_3$

entstehen, deren Felder eindeutig einer Variablenkombination zugeordnet sind.

Es ist zu beachten, daß benachbarte Felder sich in der Negation von nur einer Variablen unterscheiden.

b) Eintragen der Funktionswerte in den Rahmen

c) Umschließen von benachbarten Feldern, die eine "1" enthalten, zu Rechtecken möglichst großer Seitenlängen in Schritten von 1, 2, 4 ... Einheiten (dabei sind auch Felder einzuschließen, die - einer Torus-Topologie entsprechend - an der gegenüberliegenden Seite liegen).

d) Jedes der gefundenen Rechtecke stellt den Konjunktionsterm seiner beiden Seiten dar. Die Disjunktion dieser Terme ergibt die gesuchte minimale Funktion.

Beispiel

	c		\bar{c}	
	a	\bar{a}	\bar{a}	a
b	0	0	1	0
\bar{b}	1	1	0	1

oder

	c		\bar{c}	
	a	\bar{a}	\bar{a}	a
b	0	0	1	0
\bar{b}	1	1	0	1

Bild b1p02c

$$x = \bar{a} \cdot b \cdot \bar{c} + \bar{b} \cdot c + a \cdot \bar{b} \cdot \bar{c} \quad \text{oder} \quad x = \bar{a} \cdot b \cdot \bar{c} + a \cdot \bar{b} + \bar{a} \cdot \bar{b} \cdot c$$

ergibt zusammen

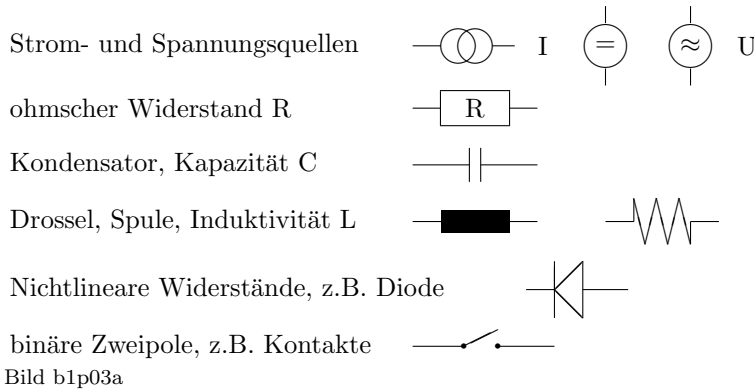
	c		\bar{c}	
	a	\bar{a}	\bar{a}	a
b	0	0	1	0
\bar{b}	1	1	0	1

Bild b1p02b

$$x = \bar{a} \cdot b \cdot \bar{c} + \bar{b} \cdot c + a \cdot \bar{b}$$

1.2 Elektrotechnische Grundlagen

1.2.1 Zweipole



Ohm'sches Gesetz:

$$U = I \cdot R$$

Komplexe Wechselstromlehre

$$\tilde{U} = \tilde{I} \cdot \tilde{R} \quad \text{mit} \quad \tilde{R} \in \{R, R_C = \frac{1}{i\omega C}, R_L = I\omega L\}$$

$$\tilde{U} = \hat{U} \cdot e^{i\omega t} \quad \text{und} \quad \tilde{I} = \hat{I} \cdot e^{i\omega t}$$

Multipole

Verknüpfungen von Zweipolen zu Multipolen mit Maschen (M) mit Knoten (K). (Jeder Knoten kann als Pol betrachtet werden)

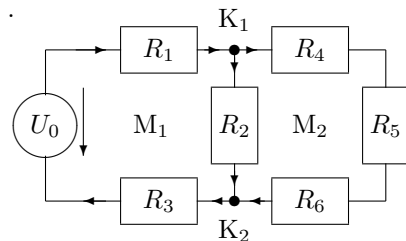


Bild b1p03

Kirchhoffsche Regeln:

Maschenregel: $\sum U_i = 0$

Knotenregel: $\sum I_j = 0$

Vierpole

Eingang: U_1, I_1

Ausgang: U_2, I_2

Übertragungsfunktion:

$$\tilde{H} = \tilde{U}_2 / \tilde{U}_1 = \tilde{H}(\omega)$$

Darstellung durch

-Ortskurve

in der komplexen Zahlenebene

-Bodediagramme

für den Betrag $H(\omega) = \sqrt{Re H^2 + Im H^2}$

und den Phasenwinkel $\tan \varphi = Im H / Re H$.

Beispiel:

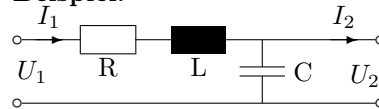


Bild b1p03b

$$U_2 / U_1 = 1 / (1 - \omega^2 LC + i\omega RC)$$

1.2.2 Schalter

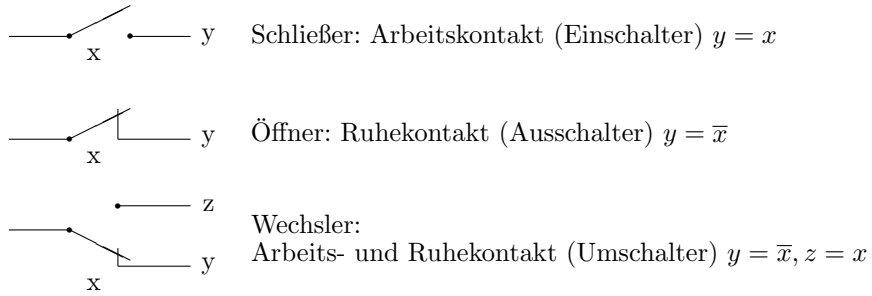


Bild b1p04

1.2.3 Verknüpfungen

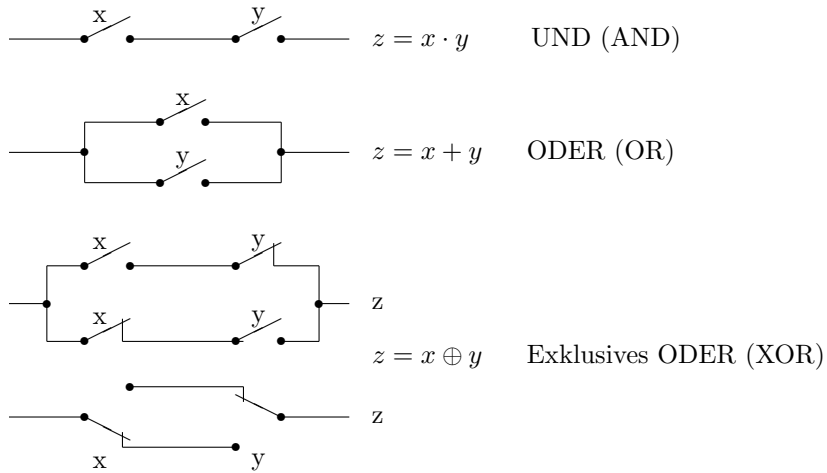


Bild b1p05

Kreuzschalter

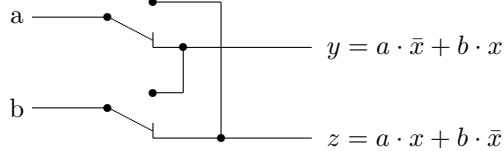


Bild b1p05a

1.2.4 Relais

a) Passive Relaischaltungen:

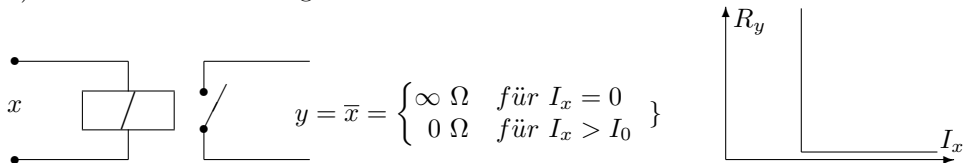
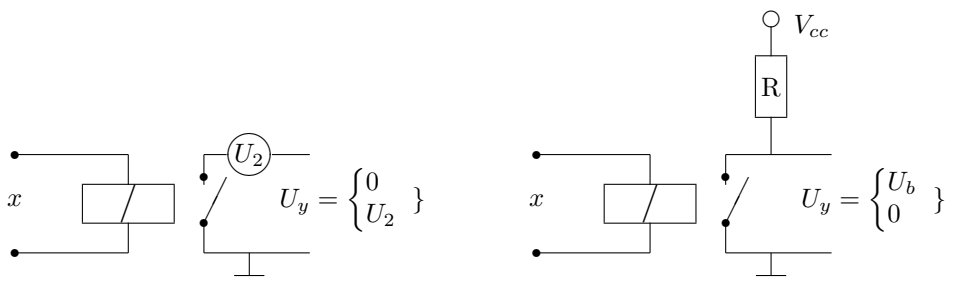


Bild b1p06

Die Ausgangsgrößen (Durchlaßwiderstände R_y) entsprechen nicht den Eingangsgrößen (Ströme I_x)

b) Aktive Schaltungen benötigen eine Hilfsspannung (V_{cc}) und haben die gleichen Eingangs- und Ausgangsgrößen (U_x, U_y).



aktive Relaischaltung

aktive Relaischaltung (invertierend)

Bild b1p06a

1.2.5 Transistoren

a) Transistoren als Vierpole (z.B. in Emitterschaltung):

$$\begin{array}{ll}
 I_1 = Y_{11} \cdot U_1 + Y_{12} \cdot U_2 & \text{Eingangswiderstand } R_{in} = 1/Y_{11} \text{ (groß)} \quad Y_{12} \approx 0 \\
 I_2 = Y_{21} \cdot U_1 + Y_{22} \cdot U_2 & \text{Steilheit } S = Y_{21} \text{ (Verstärkung)} \quad Y_{22} \approx 0
 \end{array}$$

Mit Vektoren und Matrizen:

$$\vec{I} = \hat{Y} \cdot \vec{U} \quad \text{oder} \quad \vec{U} = \hat{H} \cdot \vec{I}$$

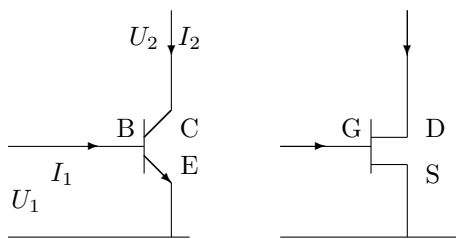


Bild b1p07

NPN-Transistor:
 C = Kollektor
 E = Emitter
 B = Basis

FET (verallgemeinert):
 D = Drain
 S = Source
 G = Gate

b) Feld-Effekt-Transistoren (FET)

besonders kleine Eingangsströme ($I_1 \approx 0$)

c) Aktive Schaltung (Analogverstärker)
Einstufiger Verstärker (invertierend)

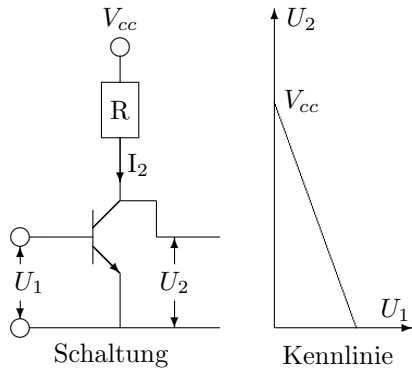


Bild b1p08

$$U_2 = V_{cc} - I_2 R \text{ mit } I_2 = Y_{21} U_1 + 0$$

$$U_2 = V_{cc} - R S U_1$$

Zweistufiger Verstärker
(nicht invertierend)

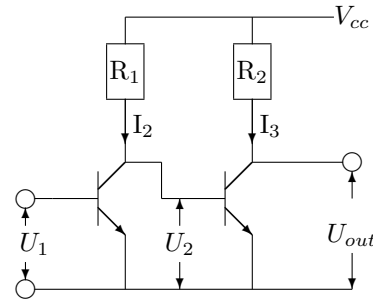


Bild b1p08a

$$U_{out} = V_{cc} - I_3 R_2 \text{ mit } I_3 = Y_{21} U_2 + 0$$

$$U_2 = V_{cc} - I_2 R_1 \text{ mit } I_2 = Y_{21} U_1 + 0$$

$$U_{out} = V_{cc}(1 - R_1 Y_{21}) + R_1 R_2 Y_{21}^2 U_1$$

$$U_{out} = V_{cc}(1 - R S) + R S^2 \cdot U_1$$

(lineare Verstärkung)

1.2.6 Schalttransistoren

Sättigungsbetrieb in 2 Zuständen: ($I_2 = 0$ und $U_2 = 0$).

Vorzugsweise mit FET wegen höherer Schaltgeschwindigkeit.

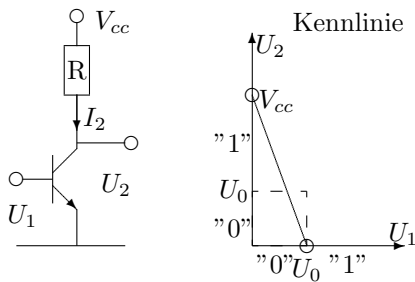


Bild b1p07a

1.3 Logische Schaltungen

1.3.1 Elementare logische Schaltungen

Aus FETs

1.3.1.1 Inverter (NOT)

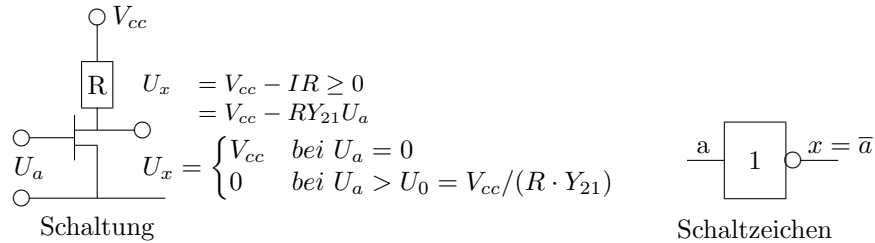


Bild b1p09

Kennlinie:

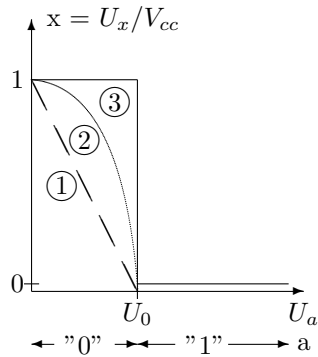


Bild b1p10

Ausgangswert (x) in Abhängigkeit vom Eingangswert (a)

1: bei linearer Verstärkung

2: bei Berücksichtigung von Nichtlinearitäten und Schwellspannungen

3: idealisierter Verlauf für binäre Ein- und Ausgangsvariablen (a , x)

1.3.1.2 Zweistellige Gatter

NAND-Gatter

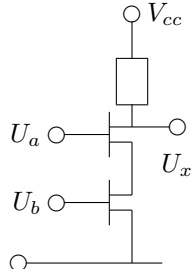


Bild b1p11

$$U_x = \begin{cases} V_{cc} & \text{falls } I = 0 \\ 0 & \text{falls beide FETs leiten, } U_a \wedge U_b \geq U_0 \end{cases}$$

Schaltzeichen:

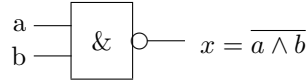


Bild b1p11a

NOR-Gatter

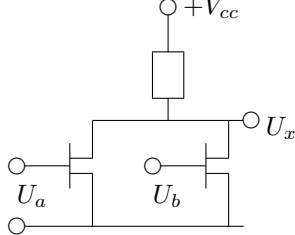


Bild b1p12

$$U_x = \begin{cases} V_{cc} & \text{falls } I_a \text{ und } I_b = 0 \\ 0 & \text{falls ein FET leitet, } U_a \vee U_b \geq U_0 \end{cases}$$

Schaltzeichen:

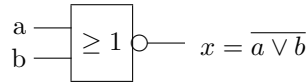
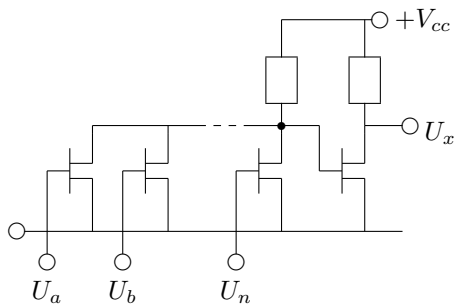


Bild b1p12a

1.3.1.3 Mehrstellige Gatter

– Multi-OR (Vielfach-ODER)

– Multi-AND (Vielfach-UND)



Schaltzeichen

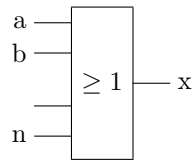
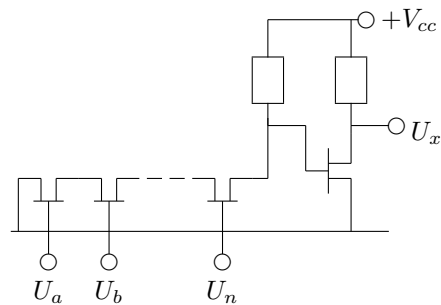


Bild b1p13



Schaltzeichen

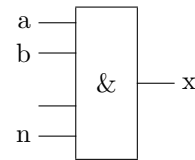


Bild b1p14

1.3.1.4 Schaltnetze für Boole'sche Funktionen

Boole'sche Funktionen können in Normalformen dargestellt werden, welche sich direkt in Schaltnetze umsetzen lassen: jeder Funktionsterm läßt sich durch ein Mehrfach-Gatter darstellen, und ebenso deren Verknüpfungen.

- DNF = $\Sigma \Pi x_i$ (ODER-Verknüpfung über UND-Gatter)
- KNF = $\Pi \Sigma \bar{x}_i$ (UND-Verknüpfung über ODER-Gatter)

Bei Anwendung der De Morganschen Regeln können aus Min-Termen oder Max-Termen Schaltungen mit gleichen Typen von invertierenden mehrstelligen Gattern verwendet werden.

Min-Terme der DNF = $\Sigma \Pi x_i = \overline{\overline{\Pi \bar{x}_i}}$ (nur NAND-Gatter)

Max-Terme der KNF = $\Pi \Sigma \bar{x}_i = \overline{\overline{\Sigma x_i}}$ (nur NOR-Gatter)

Beispiel 1

Das XOR $x = a \oplus b = a \cdot \bar{b} + \bar{a} \cdot b = \overline{(a \cdot b)} \cdot \overline{(\bar{a} \cdot \bar{b})}$

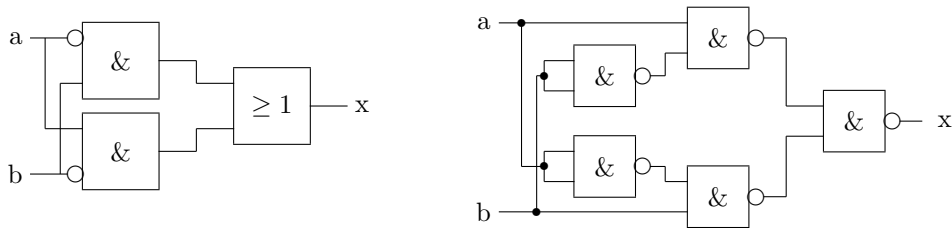


Bild b1p15

Beispiel 2

$$x = \bar{a} \cdot \bar{b} \cdot c + \bar{a} \cdot b \cdot \bar{c} + a \cdot \bar{b} \cdot \bar{c} + a \cdot b \cdot c$$

$$x = \overline{\bar{a} \cdot \bar{b} \cdot c + \bar{a} \cdot b \cdot \bar{c} + a \cdot \bar{b} \cdot \bar{c}}$$

$$x = \overline{\bar{a} \cdot \bar{b} \cdot c \cdot \bar{a} \cdot b \cdot \bar{c} \cdot a \cdot \bar{b}}$$

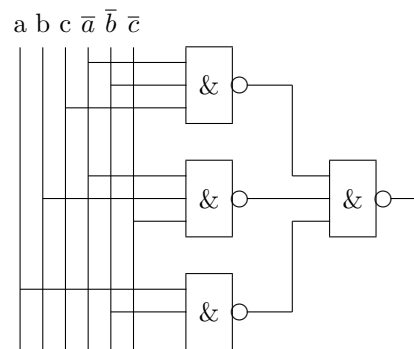


Bild b1p16

1.3.2 Rechnerbausteine

1.3.2.1 Addierer

Halbaddierer $a + b =$ Ergebnis e und Übertrag c

a	b	e	c
0	0	0	0
0	1	1	0
1	0	1	0
1	1	0	1

$$\begin{aligned} e &= a \oplus b \\ c &= a \cdot b \end{aligned}$$

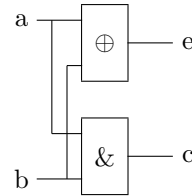


Bild b1p17

Volladdierer $a_i + b_i + c_i =$ Ergebnis e_i und Übertrag c_{i+1}

a_i	b_i	c_i	e_i	c_{i+1}
0	0	0	0	0
0	0	1	1	0
0	1	0	1	0
0	1	1	0	1
1	0	0	1	0
1	0	1	0	1
1	1	0	0	1
1	1	1	1	1

$$e_i = (a_i \oplus b_i) \oplus c_i$$

$$c_{i+1} = a_i \cdot b_i + c_i \cdot (a_i \oplus b_i)$$

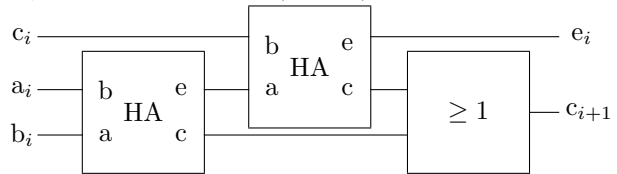
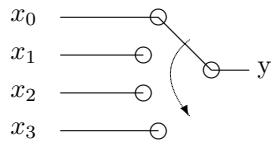


Bild b1p18

Subtrahierer $x = a + (-b)$ mit $-b = \bar{b} + 1$ (2-er Komplement)

1.3.2.2 Multiplexer



mehrstufiger Umschalter

Bild b1p20

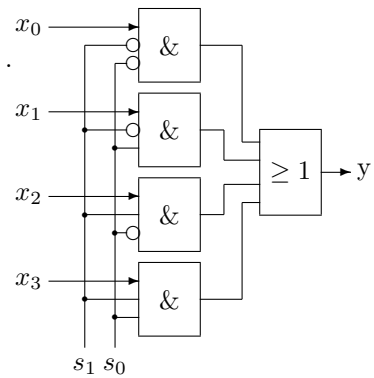
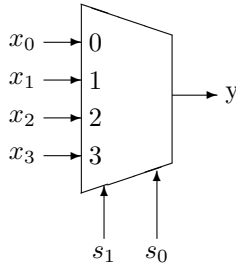
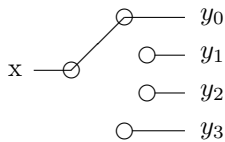


Bild b1p21

s_1	s_0	y
0	0	x_0
0	1	x_1
1	0	x_2
1	1	x_3

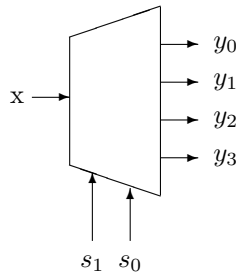
Statische Anwendung:
 Boole'sche Funktion $y = f(s)$ durch Belegung der Eingänge
 eines Multiplexers mit festen Werten x_i

Demultiplexer



mehrstufiger Umschalter

Bild b1p20a



s_1	s_0	y_0	y_1	y_2	y_3
0	0	x	0	0	0
0	1	0	x	0	0
1	0	0	0	x	0
1	1	0	0	0	x

1.3.2.3 PROM

Programmable Read-only Memory

Funktionswerte $\{ d_i \} = f(a)$ werden über Adreßwerte $\{ a_i \}$ aus einem Speicher gelesen, der wahlfrei (RAM) adressierbar ist. Die Zuordnung der Funktionswerte zu den Adressen erfolgt durch "Brennen" der zugehörigen Verbindungen.

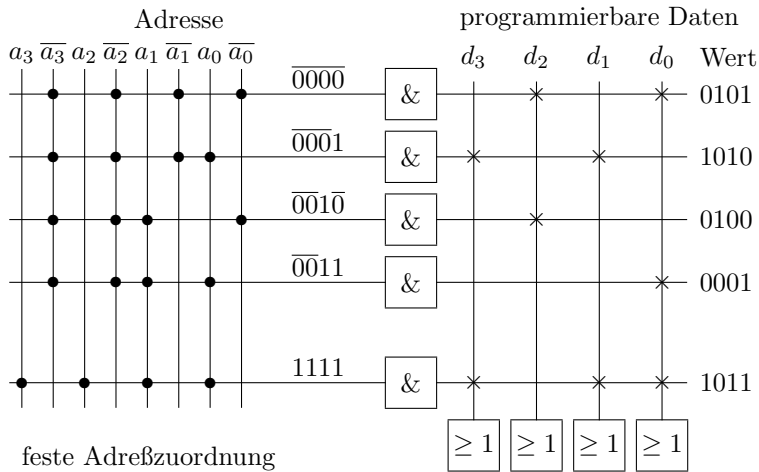


Bild b1p22

1.3.2.4 PAL

Programmable Array Logic

Zum PROM inverse Festlegung von Funktionswerten zu (programmierbaren) Adressen.

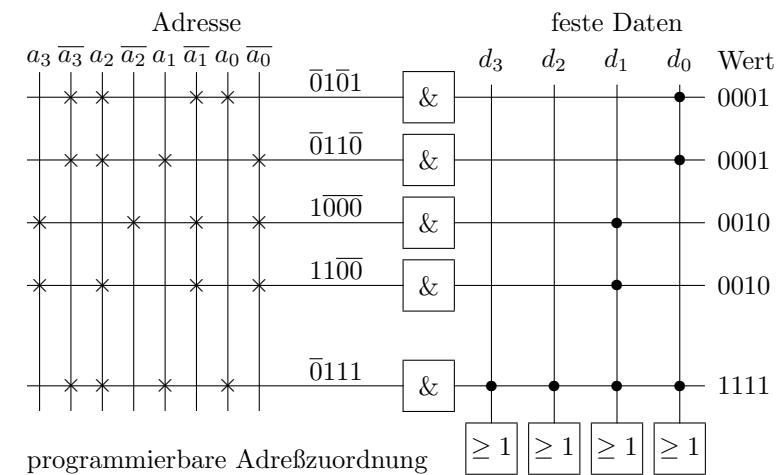


Bild b1p23

1.4 Sequentielle Schaltungen

1.4.1 Zeitverhalten

Gatterlaufzeiten

Schaltverzögerung (delay time t_d)

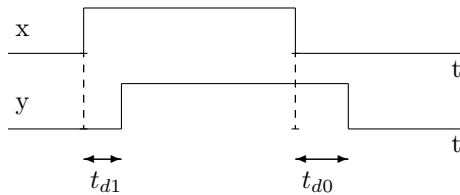
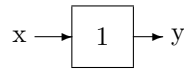


Bild b1p24

Identität



z.B.

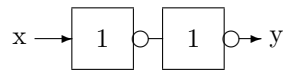
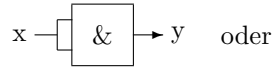


Bild b1p24a

Flankensteilheit Anstiegs- und Abfallzeit (rise time t_r , fall time t_f)

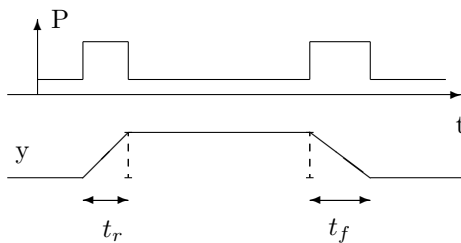


Bild b1p25

in der Regel ist $t_{d0} \approx t_{d1} \approx t_r \approx t_f$ und hängt von der verwendeten Halbleitertechnologie ab.

Technologie	t_d
TTL	5 ns
ECL	1 ns
CMOS	15 ns

Ansprechschwellen (threshold)

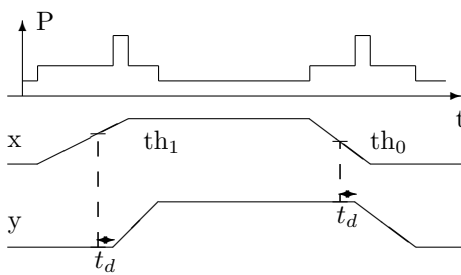


Bild b1p26

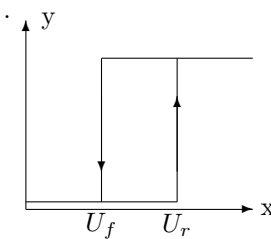


Bild b1p26a

Kennlinie (Schmitt-Trigger: $U_f < U_r$)

1.4.2 Bistabile Schaltungen

Elementare Schaltwerke, Automaten

a) Rückgekoppeltes NAND instabile Kippstufe, Multivibrator

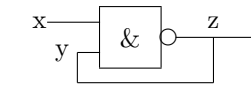


Bild b1p27

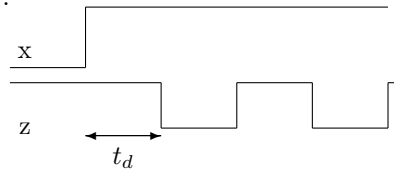


Bild b1p27a

x	y	$z = \overline{xy}$
0	0	1
0	1	1
1	0	$1 = \overline{y}$
1	1	$0 = \overline{y}$

x	y(t)	y(t+t _d)	y(t+2t _d)	
0	0	1	1	y = 1 = const
1	1	0	1	f _y = 1/2t _d ≈ 100MHZ

b) bistabile Kippstufe

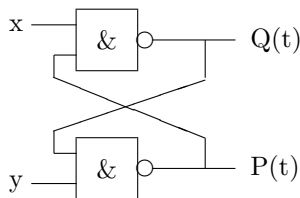


Bild b1p28

x	y	Q(t)	P(t)	Q	P(t+t _d)	Q	P(t+2t _d)	
0	0	1	1	1	1	1	1	1 = const <i>clear</i>
0	1	1	P _t	1	0 = \overline{Q}_t	1	0	0 = const (set)
1	0	Q _t	1	0	1	0	1	1 = const (reset)
1	1	1	1	0	0	1	1	1 ≠ const (instabil)
1	1	1	0	1	0	1	0	0 = const (bi)stabil
1	1	0	1	0	1	0	1	1 = const (bi)stabil
1	1	0	0	1	1	0	0	0 ≠ const instabil

c) RS-Flipflop

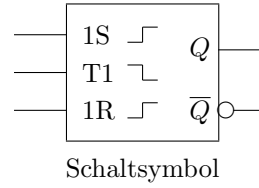
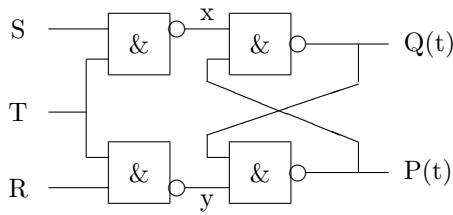


Bild b1p29

R	S	T	x	y	Q	P
0	0	0	1	1	Q_0	$P_0 = \overline{Q_0} = \text{const}$
1	0	0	1	1	Q_0	$P_0 = \overline{Q_0}$
0	1	0	1	1	Q_0	$P_0 = \overline{Q_0}$
1	1	0	1	1	Q_0	$P_0 = \overline{Q_0}$
0	0	1	1	1	Q_0	$P_0 = \overline{Q_0} = \text{const}$
1	0	1	1	0	0	1 (reset)
0	1	1	0	1	1	0 (set)
1	1	1	0	0	1	1 instabil

d) D-Flipflop Speicherelement für 1 Bit

Ausschließen des instabilen Zustands durch $D = S = \bar{R}$

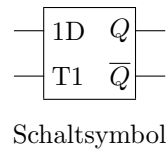
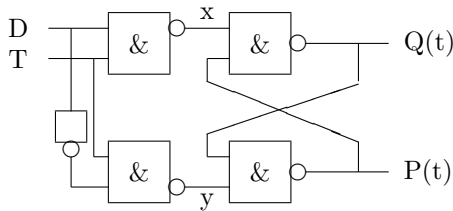


Bild b1p30

D	T	x	y	Q
0	0	1	1	Q_0
1	0	1	1	Q_0
0	1	1	0	0 = D (set)
1	1	0	1	1 = D (reset)

e) JK-Flipflop

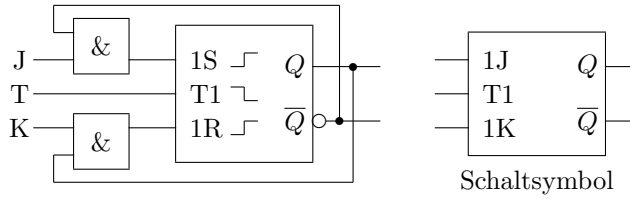


Bild b1p31

J	K	Q_0	S	R	Q(T) für T = 1	
0	0	0	0	0	Q_0	Store
0	0	1	0	0	Q_0	Store
0	1	0	0	0	$0=Q_0$	Reset
0	1	1	0	1	0	Reset
1	0	0	1	0	1	Set
1	0	1	0	0	$1=Q_0$	Set
1	1	0	1	0	$1=Q_0$	Kippen
1	1	1	0	1	$0=Q_0$	Kippen

f) Master-Slave-Flipflop

Serienschaltung von einem JK- und einem RS-Flipflop.

Ein- und Ausgang werden entkoppelt. Das neue Signal erscheint erst nach Beendigung des Taktimpulses (verzögert), an dessen Endflanke (flankengesteuertes Flipflop).

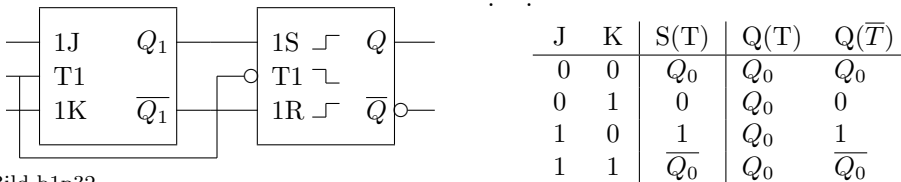


Bild b1p32

g) T-Flipflop

Anwendung eines Master-Slave-Flipflops zum Zählen

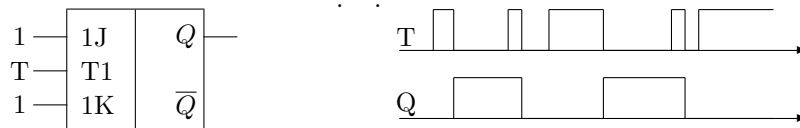


Bild b1p32a

Bild b1p32b

1.4.3 Register

a) Speicherregister (latch)
 Parallelschaltung von n D-Fliflops mit gemeinsamen Ladevorgang (Load)

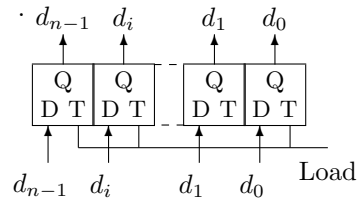


Bild b1p33

b) Zähler (counter) Sequentielle Addition
 Serienschaltung von T-Fliflops.
 Rücksetzen (reset) durch $J = K = 0$ beim nächsten Taktimpuls (synchrones Reset).
 Die Steuerung für Vorwärts/Rückwärtszählen (F/R) erfolgt durch Nutzung des Q - bzw. des \bar{Q} -Ausgangs (Die Umschaltung kann durch ein XOR simuliert werden).

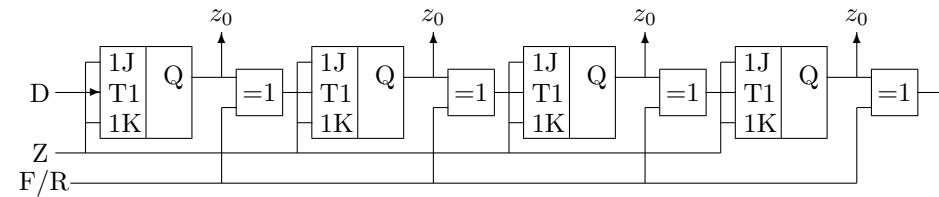


Bild b1p34

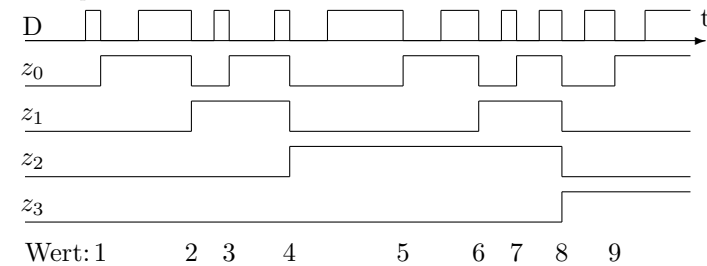


Bild b1p34a

c) Teiler

Serienschaltung von Master-Slave-Flipflops und Rücksetzen nach Erreichen bestimmter Werte (binär, dezimal, beliebig), die durch eine logische Verknüpfung der Zählerstandswerte bestimmt wird ($R = f(z)$). Dieser Übertrag (Carry) kann als Eingangstakt für eine nächste Stufe (Stelle) dienen.

Z.B. $z = (1001) = 9$ ergibt einen Dezimalzähler (0 ... 9).

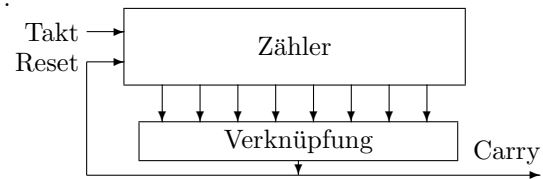


Bild b1p35

d) Schieberregister

Serienschaltung von JK-Flipflops mit seriellem Eingang und parallelem Ausgang (Seriell-Parallel-Wandler)

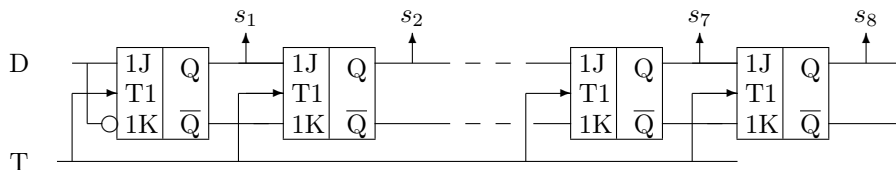


Bild b1p36

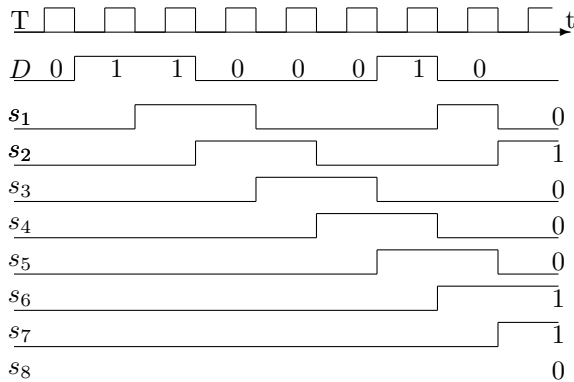


Bild b1p36a

Nach 8 Taktten stehen die 8 seriell eingegangenen Bits "0 1 1 0 0 0 1 0" an den Ausgängen $s_8..s_1$ zur Verfügung

e) Parallel-Seriell-Wandler

Schieberegister mit parallelem Laden (Load) und serielltem Ausgang

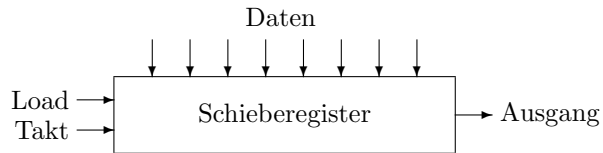


Bild b1p37

f) FIFO (First In First Out)

Registersatz, der von oben geladen und nach unten entleert wird.

Die oben mit einem Ladesignal eingegebenen Daten werden in das unterste noch freie Register gebracht. Wenn das FIFO voll ist, wird ein entsprechendes Signal gegeben.

Mit dem Signal "Hole" werden Daten aus dem untersten Register abgeholt. Die übrigen Daten rücken im FIFO nach. Wenn das FIFO keine Daten mehr enthält, wird das Signal "Leer" abgegeben.

Das FIFO ist ein Speicher mit sequentiellem Zugriff (SAM, sequential access memory).

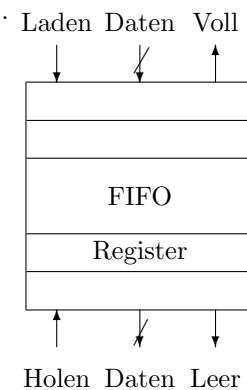


Bild b1p38

1.5 Schaltungstechniken

Halbleiterfamilien

	Familie	V_{CC}	t_p/ns	P/mW
TTL	Transistor Transistor Logic	5.0 V	1.5 ... 15	1 ... 22
ECL	Emitter Coupled Logic	-5.2 V	2	50
CMOS	Complementary Metal Oxide Silicon	2 ... 15 V	10 ... 50	1 ... 10



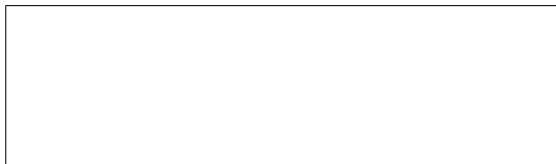
Bild b1p09

Lastfaktoren

Ausgangslastfaktor (fan out) = $\frac{\text{min Ausgangsstrom des Senders}}{\text{max Eingangsstrom des Empfängers}}$ = Vielfaches einer Eingangslast mit der ein Ausgang belastet werden darf

Eingangslastfaktor (fan in) = Vielfaches einer normalen Eingangslast

Typischerweise ist innerhalb einer Familie der Ausgangslastfaktor (fan out) = 10



Typische Bauformen von Integrierten Halbleiterschaltungen (Dual In Line)

1.5.1 Klassische Bauelemente

Aus diskreten Bauelementen (selten)

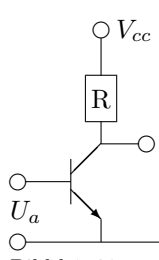


Bild b1p09a

- Eingangsspannung für "0": $U_{IL} \leq 0.7V$ (abhängig vom Halbleitertyp)
für "1": $U_{IH} \geq 0.7V$ (abhängig vom Halbleitertyp)
- Eingangsstrom für "0": $I_{IL} = 0$ (praktisch kein Eingangsstrom)
für "1": $I_{IH} \approx 0$ (geringer Eingangsstrom)
- Eingangsimpedanz für "0": sehr hoch (praktisch kein Eingangsstrom)
für "1": hoch (geringer Eingangsstrom)
- Ausgangsspannung für "0": $U_{OL} \geq 0.4V$ (abhängig vom Halbleitertyp)
für "1": $U_{OH} \leq V_{CC} - N * I_{I1}$ (abhängig von N * Last)
- Ausgangsstrom für "0": $I_{OL} < 0$ (Stromsenke)
für "1": $I_{OH} < V_{CC}/R$ (mäßig, abhängig vom Arbeitswiderstand R)
- Eingangsimpedanz : (Low und High) sehr hoch
- Ausgangsimpedanz für "0": (Low) sehr niedrig
für "1": (High) mäßig

Ein Ausgang kann eine sehr hohe Anzahl von Eingängen versorgen (fan out)

1.5.2 TTL, Transistor-Transistor-Logik

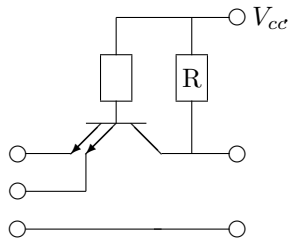


Bild b1p09b

.Kennzeichen:

Eingänge an den Emitttern von Multi-Emitter-Transistoren (Stromquellen) → Eingangsstrom für logische "0" ist negativ!

Der Arbeitswiderstand R wird durch ein Transistorenpaar gebildet.

Bei der Low Power Schottky Familie handelt es sich tatsächlich um DTL (Dioden-Transistor-Logik) s. Bild b1p09.

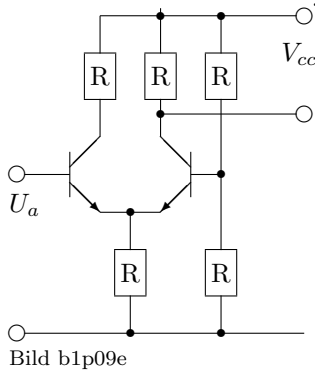
Familie	4*NAND	V _{cc}	U _{IH}	U _{IL}	U _{OH}	U _{OL}	ΔU	t _p	P
TTL (Standard)	7400	5 ± 5%	2,0	0,8	2,4	0,4	1,0	10	10
H (High Speed)	74H00	5 ± 5%	2,0	0,8	2,4	0,4	1,0	5	22
L (Low Power)	74L00	5 ± 5%	2,0	0,8	2,4	0,4	1,0	15	1
S (Schottky)	74S00	5 ± 5%	2,0	0,8	2,4	0,5	1,0	3	20
LS (Low Power Schottky)	74LS00	5 ± 5%	2,0	0,8	2,4	0,5	0,8	10	2
FS (Fast Schottky)	74FS00	5 ± 5%	2,0	0,8	2,4	0,5	0,8	2	2
AS (Advanced Schottky)	74AS00	5 ± 5%	2,0	0,8	2,4	0,5	0,8	1,5	2
ALS (Advanced LS)	74ALS00	5 ± 10%	2,0	0,7	3,0	0,4	0,8	4	1

Alle Spannungen in Volt, Schaltzeit t_p in ns, Leistung P in mW pro Gatter

Ein- und Ausgangsströme (bei Standard – TTL):

$$I_{IL} = -1.6 mA \quad I_{OL} = -16 mA \quad I_{IH} = 0.040 mA \quad I_{OH} = 0.400 mA$$

1.5.3 ECL, Emitter-Coupled-Logic



Kennzeichen:

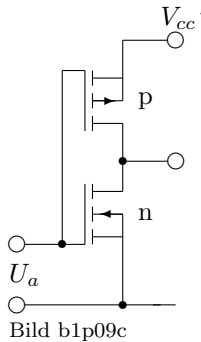
Ungesättigte Logik: keiner der Transistoren ist in Sättigung, d.h. weder vollständig gesperrt oder vollständig durchgeschaltet ($0 < I < (V_{cc} - 0.4V)/2R$)

Familie	4*NOR	V_{cc}	U_{IH}	U_{IL}	U_{OH}	U_{OL}	ΔU	t_p	P
ECL	10K102	-5,2	-5,0	-1,5	-5	-1,7	0,4	2	50

Alle Spannungen in Volt, Schaltzeit t_p in ns, Leistung P in mW pro Gatter

1.5.4 CMOS

Complementary Metal Oxide Silicon



Kennzeichen:

Feldeffekttransistoren (MOSFET) als aktive Elemente, Arbeitswiderstände werden durch komplementäre Transistoren gebildet

Familie	4*NAND	V_{cc}	U_{IH}	U_{IL}	U_{OH}	U_{OL}	ΔU	t_p	P	C_P
CMOS	4011	3...15	4...8	1...2	4,5...9	0,5	$0.5 V_{cc}$	50	1	
HCMOS	74HC00	2...6	$0.7 V_{cc}$	$0.2 \cdot V_{cc}$	$V_{cc}-0.3$	0,1	$0.5 V_{cc}$	10	3	20 pF
HCTMOS	74HCT00	5 ± 0.5	2.0	0.8	$V_{cc}-0.1$	0.33	$0.5 V_{cc}$	18	3	20 pF

Alle Spannungen in Volt, Schaltzeit t_p in ns, Leistung P in mW pro Gatter bei 1 MHz Schaltfrequenz. Die Leistungsaufnahme ist weitgehend proportional zur Schaltfrequenz, ausgedrückt über die Leistungskapazität C_P :

$$P = U^2/R_C = U^2 \cdot 2\pi f C_P$$

1.5.5 Kompatibilität

Die verschiedenen Familien - bis auf ECL - können miteinander gekoppelt werden, wenn die Lastfaktoren (fan out) beachtet werden.

Fan-Out	ALS	F	AS	LS	L	S	N	H	
ALS	20	20	10	20	40	10	10	4	.Ein Standard (N) -TTL- Ausgang kann 10 Standard TTL - Eingänge betreiben
F	25	25	10	25	48	10	12	10	
AS	50	50	10	50	100	10	10	10	Ein Low-Power (L) -TTL- Ausgang kann 2 Standard TTL - Eingänge betreiben
LS	20	50	8	20	40	10	5	4	
L	10	10	1	10	20	1	2	1	
S	50	50	10	50	100	10	12	10	
N	20	20	8	40	40	8	10	8	
H	25	25	10	25	50	10	12	10	

Standard Package:

pinkompatible TTL, HCMOS Bauformen:

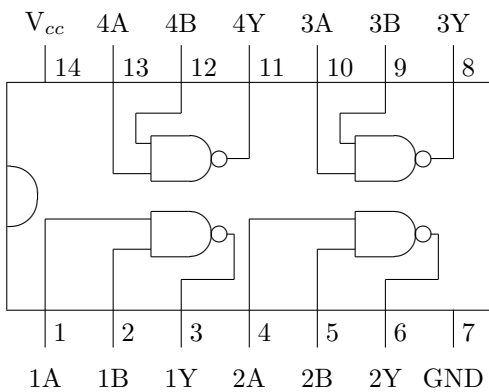


Bild 7400

.Auswahl:

- 7400 4 Dual NAND
- 7402 4 Dual NOR
- 7404 6 Inverter
- 7408 4 Dual AND
- 7410 3 Triple NAND
- 7420 2 Quad NAND
- 7430 1 Oct NAND
- 7473 2 JK - Flipflops
- 7474 2 D - Flipflops
- 74151 8-fach Mux
- 74154 4 zu 16 Decoder
- 74161 4 bit Zähler
- 74164 8 bit ser.in - par.out shift reg
- 74165 8 bit par.in - ser.out shift reg
- 74181 4 bit ALU

1.5.6 Parallelschaltung

Eingänge können je nach Lastfaktor eines Ausgangs parallel geschaltet werden

Ausgänge können in der Regel nicht parallel geschaltet werden !

Open Collector Ausgänge mit offenem Kollektor können als "wired OR" (verdrahtetes ODER) an einem gemeinsamen äußerem Arbeitswiderstand R betrieben werden.

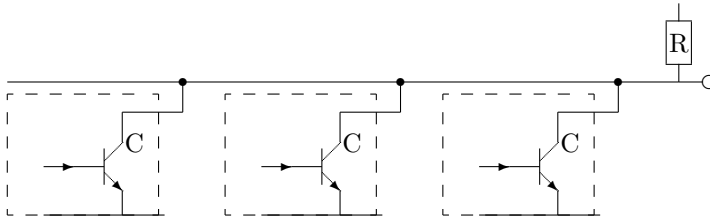


Bild WiredOr

Elektronische Bauelemente

1.6 Leiter und Isolatoren

1.6.1 Ohm'sche Widerstände

$$R = \rho \cdot l/A$$

ρ = spezifischer Widerstand (materialabhängig),

l = Länge, A = Querschnitt

$\sigma = 1/\rho$ spezifische Leitfähigkeit

Maßeinheiten: $[\rho] = \Omega \cdot m^2/m = \Omega m$

Kohleschichtwiderstand $\pm 5\%$ (0.1 bis 10 Watt)

Metallschichtwiderstand $\pm 1\%$

Metalldrahtwiderstand $\pm 1\%$ (bis 100 Watt)

Material	ρ in $10^{-8}\Omega m$
Ag Silber	1.6
Au Gold	2.1
Al Aluminium	2.9
C Kohle	6500
Cu Kupfer	1.8
Fe Eisen	9.8
Hg Quecksilber	96
Pt Platin	10.5
Konstantan Cu54, Ni45, Mn1%	50

1.6.2 Varistoren

$$R = K/U^{\alpha-1}$$

VDR Voltage Dependent Resistor, Varistor,

spannungsabhängiger Widerstand: $R = R(U)$

(Verringerung des Widerstands durch Spannung).

SiC (SiliziumCarbid) : $\alpha \approx 5$

ZinkOxid (ZnO): $\alpha > 30$

1.6.3 Sensitive Widerstände, Sensoren

Thermistoren Temperaturabhängige Widerstände

NTC Negative Temperature Coefficient, Heißeiter, NTC-Widerstand.

– Eisen-Nickel-Cobalt-Oxid-Keramik

$$R = R_0 \cdot e^{-b(1/T-1/T_0)}$$

R_0 = Widerstand bei $T_0 = 0^{\circ}C = 273.15K$

R_0 typ. $1k\Omega$ $b = 2000...5000K$

– Halbleiter (Ge, Si) $b = E_c/2k$

Bindungsenergien $E_c = 1.14$ eV (Si);
0.67 eV (Ge)

PTC Positive Temperature Coefficient, Kaltleiter, PTC-Widerstand.

BariumTitanat-Keramik (ferroelektrisch)

$$R = R_0 \cdot e^{k(T-T_0)} \quad k \approx 0.2/K$$

R_0 (Widerstand bei $T_0 = 0^{\circ}C$) typ. 20Ω

Metalle: $R = R_0 \cdot (1 + T_k(T - T_0))$

Platin (PT100): $R_0 = 100\Omega$ bei $0^{\circ}C$

$$T_k(Pt) = 3.93 \cdot 10^{-3}/K$$

$$T_k(Ag) = 4.1 \cdot 10^{-3}/K$$

$$T_k(Al) = 4.3 \cdot 10^{-3}/K$$

$$T_k(Cu) = 6.8 \cdot 10^{-3}/K$$

Druckabhängige Widerstände

Metalle: $R = R_0 \cdot (1 + k(p - p_0))$ $R_0 \approx 10k\Omega$

und $k = -10... + 150 \cdot 10^{-5}/MPa$

Photowiderstände Beleuchtungsabhängige Widerstände

Halbleiter: s. Photodiode, Phototransistor

Isolatoren (z.B. ZnO): Photonenabsorption und Elektron-Loch-Paarbildung

1.6.4 Isolatoren

Isolationswiderstand $\rho = 10^{13}...10^{16}\Omega m$

Durchschlagsfestigkeit 1 .. 100 kV/mm

1.7 Aktive Bauelemente

1.7.1 Relais

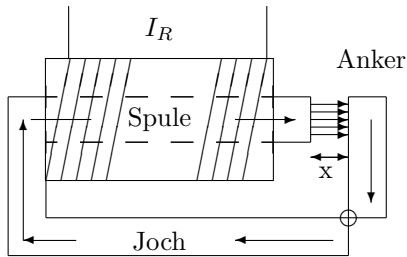


Bild relais

Anziehungskraft auf den Anker:

$$F = \frac{AB^2}{2\mu_0} \quad \text{mit} \quad B = \frac{\mu_0 N I_R}{x+l/\mu_{Fe}}$$

A = Querschnitt,

x = Ankerabstand, l = Jochlänge,

μ_{Fe} = Permeabilität des Eisenjochs

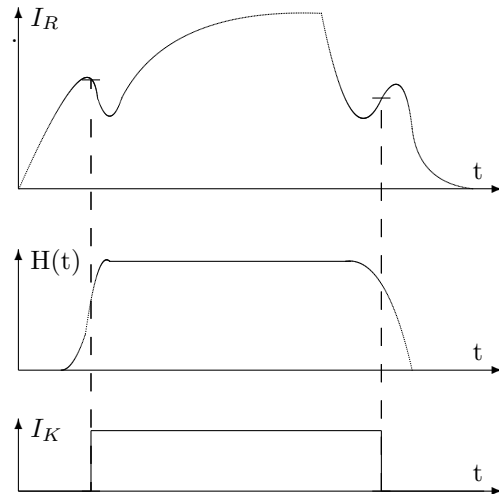


Bild relkenn

1.7.2 Elektronenröhren

1.7.2.1 Dioden

Kathode K mit Heizung H
 "verdampft" Elektronen
 (Glühelktronen-Emission)
 Anode (positiv) "saugt"
 Elektronen auf.

Kennlinie $I_A = I(U_A) =$ für $I_A < I_S$

$$I_A = K \sqrt{\frac{2e}{m}} U_A^{3/2} \quad (\text{Schottky-Langmuir})$$

Sättigungsstrom: $I_S = AT^2 e^{eU_K/kT}$ (Richardson)

Anlaufstrom (für $U_A < 0$): $I_A = I_0 \cdot e^{eU_A/kT}$ (Maxwell)

T = (absolute) Temperatur der Kathode

eU_K = Austrittsarbeit aus Kathode

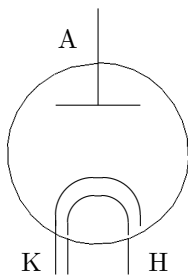


Bild diode

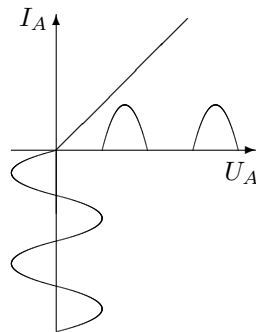


Bild Gleichr

Gleichrichterwirkung

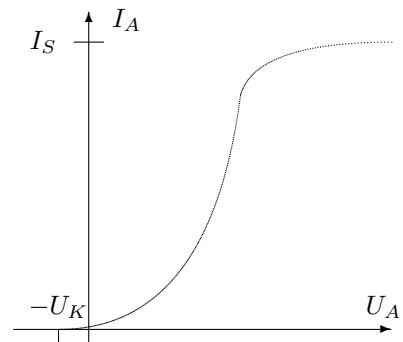


Bild diokenn

1.7.2.2 Trioden

Gitter (negativ gegen Kathode) bremsst die Elektronen-Emission der Kathode (Steurgitter)

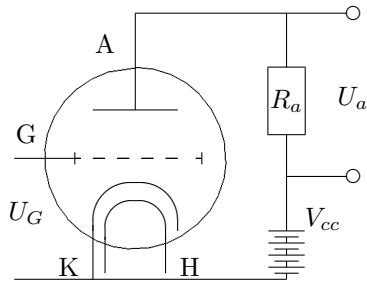


Bild triode

Verstärkung: $V = -S \frac{R_a R_i}{R_a + R_i}$

Kennlinienfeld $I_A = I(U_G, U_A)$

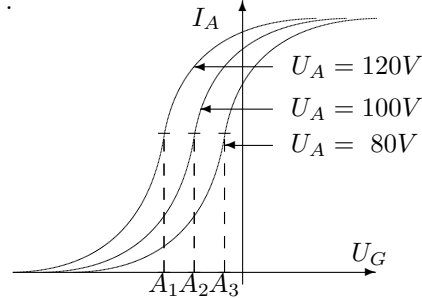


Bild triokenn

Arbeitspunkte A im linearen Bereich

Steilheit $S = \delta I_A / \delta U_G$

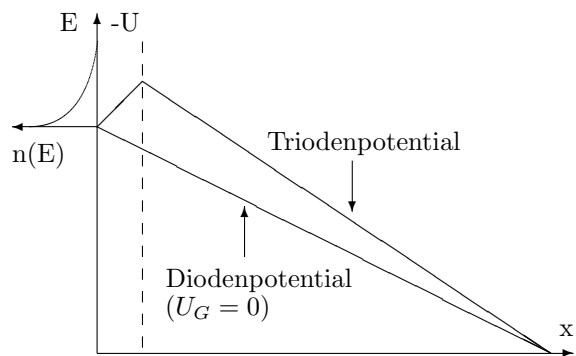
Durchgriff $D = -\delta U_G / \delta U_A$

Innenwiderstand $R_i = \delta U_A / \delta I_A$

Elektronen im E-Feld der Triode: Die aus der Kathode austretenden Elektronen haben eine Maxwell'sche Geschwindigkeitsverteilung ($n(E) = n_0 e^{-E/kT}$), die mit der Kathodentemperatur T anwächst (Mittelwert $\bar{E} = \frac{3}{2}kT$).

Bei einem negativ vorgespannten Gitter müssen die Elektronen gegen einen "Potentialberg" anlaufen, was nur wenige "heiße" Elektronen schaffen.

Auf dem Weg zur Anode gewinnen sie kinetische Energie ($\frac{1}{2}mv^2$), die sie aus der potentiellen elektrischen Energie (eU) beziehen.



Kathode Gitter

Anode

Bild triopot

Wegen der Zylindersymmetrie einer Röhre fallen in der Realität alle Potentiale mit $1/r$ ab.

1.7.2.3 Pentoden

Bremsgitter BG (negativ gegen Anode) bremsst die Sekundär-Elektronen-Emission der Anode
Schirmgitter SG (auf Anoden-Potential) beschleunigt die Elektronen ohne sie "aufzusaugen"

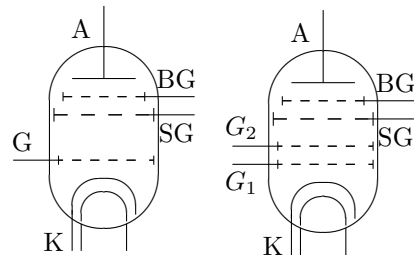


Bild pentode

Bild hexode

1.7.2.4 Hexoden

Zwei Steurgitter (G_1 und G_2) wirken wie 2 in Serie geschaltete Schalter (logisches UND)

1.7.2.5 Bildröhren

Braun'sche Röhre = CRT = Cathode Ray Tube = Kathodenstrahlröhre

Fernsehröhre, Bildschirm, Monitor mit magnetischer Ablenkung

Oszilloskopentröhre mit elektrostatischer Ablenkung

Kathode, Steuergitter und Anode bilden eine "Elektronenkanone"

Farbbildschirme besitzen jeweils 3 davon (RGB = Rot, Grün, Blau).

Die Fokussierungselektroden bilden eine "Elektronenlinse" mit variabler Brennweite f .

Die Geschwindigkeit der Elektronen ergibt sich aus dem Energiesatz.

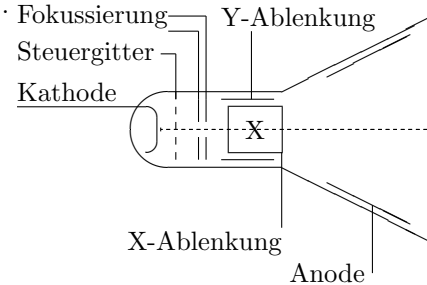


Bild CRT

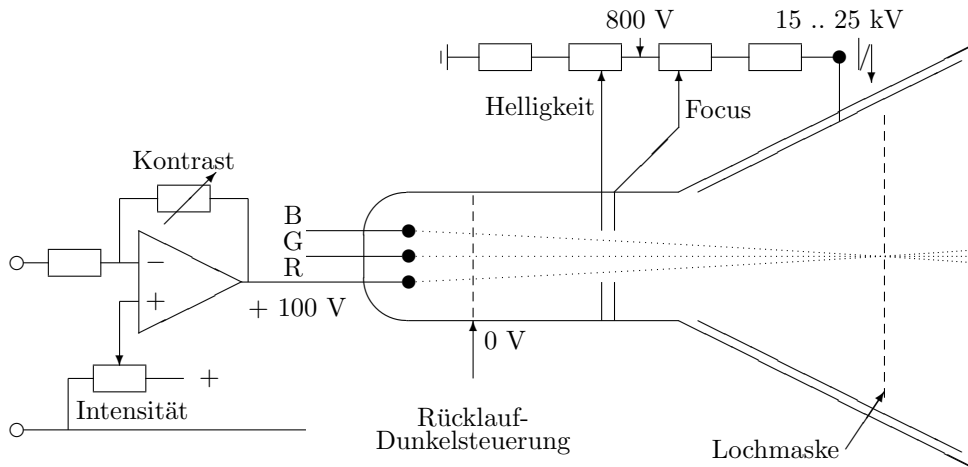


Bild Farbert

Eine **Elektronenlinse** besteht im wesentlichen aus 2 Lochblenden mit unterschiedlichem Potential, deren Äquipotentialflächen aus den Blendenöffnungen "herausragen"; hier werden die Elektronen auf die Kraftlinien (Feldlinien) abgelenkt, die auf den Äquipotentialflächen senkrecht stehen. Da die Elektronen in der zweiten, divergenten Hälfte durch die Beschleunigung auf den Feldlinien eine höhere Geschwindigkeit haben, kommen sie nicht mehr auf ihre alte Richtung zurück und werden so gebündelt.

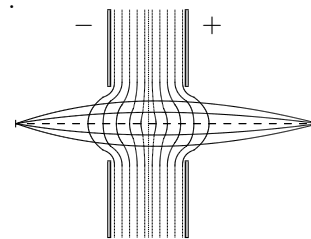


Bild Elinse

1.7.3 Halbleiter

1.7.3.1 Dioden

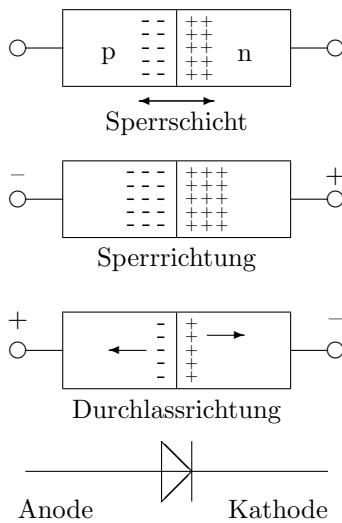


Bild hdiode

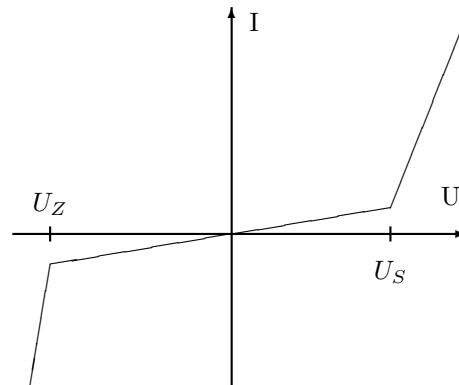


Bild hdiokenn

Durchlassstrom:

$$I = K e^{-E_g/kT} (e^{eU/kT} - 1)$$

 E_g = Energielücke U_S = Schleusenspannung (≈ 0.7 V bei Si) U_Z = Durchbruchspannung (Zener-Spannung) > 6 V

Gleichrichterdioden

 U_Z bis 500 V, $I_F > 10$ A, geringer Innenwiderstand

Schaltdioden

schnell, U_Z bis 50 V, $I_F < 0.1$ A, geringer Innenwiderstand

Schottky-Dioden sehr schnell (< 1 ns), U_Z bis 50 V, $I_F < 1$ mA

HF-Dioden (Golddraht-Dioden)

sehr schnell (> 10 GHz), $U_S < 0.1$ V, U_Z bis 50 V, $I_F < 1$ mA, Metall-Halbleiter

Photodioden

Reststrom in Sperrichtung ist beleuchtungsabhängig; $h\nu > E_g$ (Einstein)

Leuchtdioden

Photonenemission $h\nu = E_g$ (Einstein) bei Rekombination

Kapazitätsdioden, Varaktoren

Sperrschichtdicke in Sperrichtung ergibt spannungsabhängige Kapazität

Tunneldioden

mit gekrümmter Kennlinie, mit negativer Steigung, HF-Oszillator

Zenerdioden

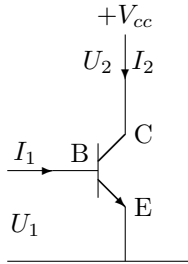
in Sperrichtung betriebene Diode im Durchbruchbereich

Triggerdioden, DIAC

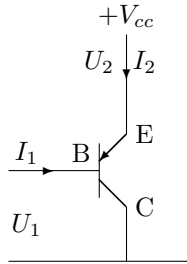
2 entgegengesetzt gepolte Dioden mit Durchlass im Durchbruch

1.7.3.2 Transistoren

Bipolare Transistoren



NPN-Transistor



PNP-Transistor

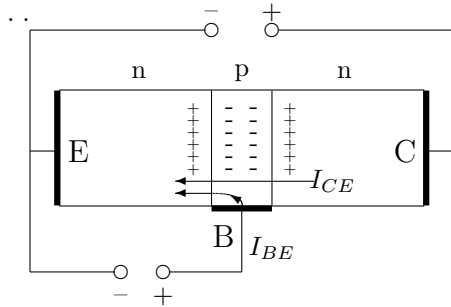


Bild tranfunk

Bild transist

C Kollektor sammelt die Majoritätsträger
 E Emmitter gibt die Majoritätsträger aus
 B Basis Steuerelektrode, enthält die Majoritätsträger: (positive) Löcher bei NPN (negative) Elektronen bei PNP

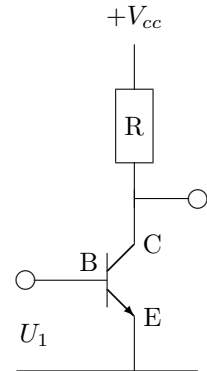
Stromverstärkung $\beta = \frac{I_{CE}}{I_{BE}} \gg 1$

Stromfluß (der Majoritätsträger) vom Kollektor zum Emmitter

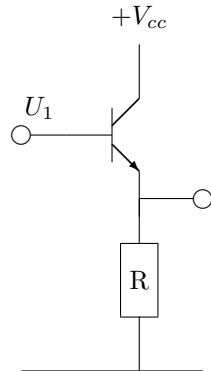
Grundsaltungen

Emitter-, Basis-, Kollektorschaltung

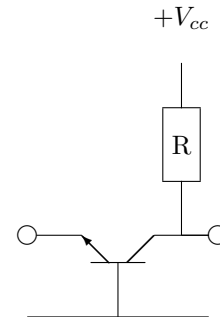
je nachdem welche Elektrode für Ein- und Ausgangsspannung gemeinsam ist.



Emitterschaltung



Kollektorschaltung



Basisschaltung

Bild trangrun

Emitterschaltung	Kollektorschaltung (Emitterfolger)	Basisschaltung
Spannungsverstärkung: $v = -\frac{\beta R}{r_{BE}}$	Spannungsverstärkung: $v = 1$	Spannungsverstärkung: $v = +\frac{\beta R}{r_{BE}}$
Stromverstärkung: β	Stromverstärkung: β	Stromverstärkung: $\alpha = 1$

Differentieller Eingangswiderstand $r_{BE} = \frac{\delta U_{BE}}{\delta I_B}$

Vierquadranten-Kennlinienfeld eines Transistors in Emitterschaltung

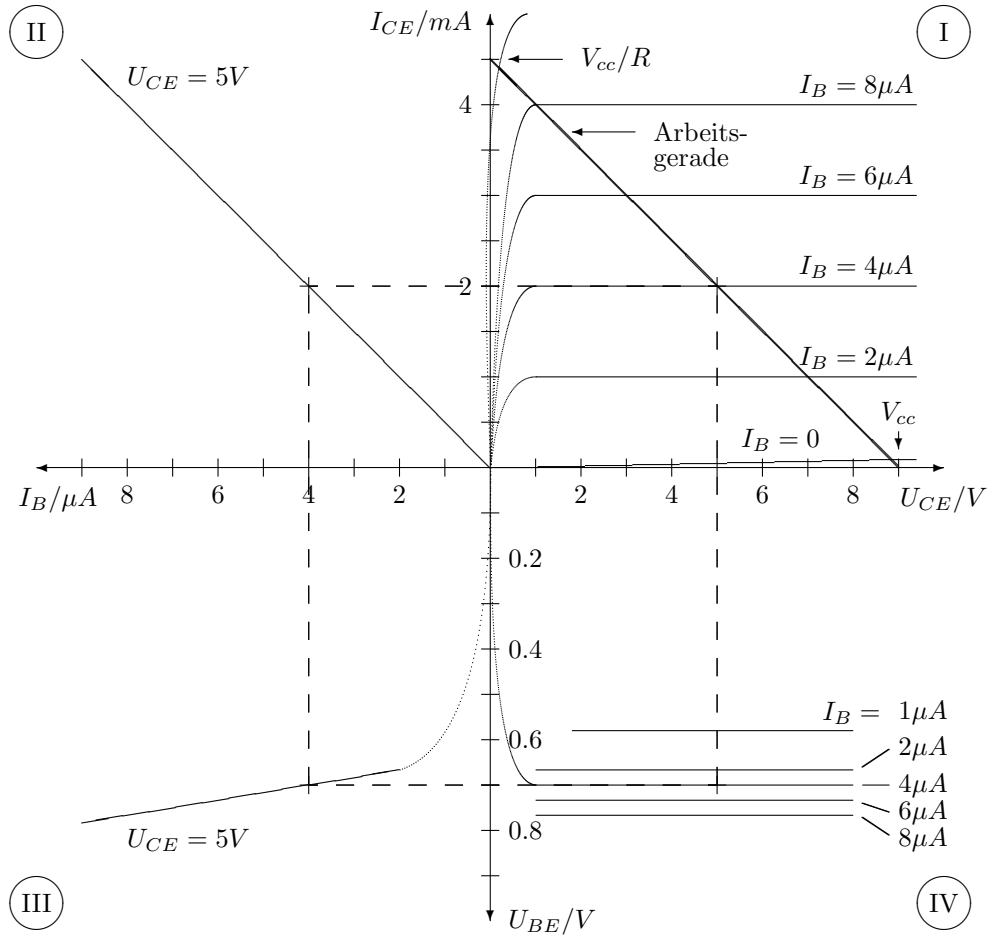


Bild trankenn

- Ausgangskennlinie** (Quadrant I): $I_C = I_C(U_{CE})$ bei $I_B = const$
- Übertragungskennlinie** (Quadrant II): $I_C = I_C(I_B)$ bei $U_{CE} = const$
(Stromverstärkung $\beta = \frac{I_{CE}}{I_{BE}} = \text{Steigung}$)
- Eingangskennlinie** (Quadrant III): $I_B = I_B(U_{BE})$ bei $U_{CE} = const$
(differentieller Eingangswiderstand $r_{BE} = \delta U_{BE} / \delta I_B = \text{Steigung}$)
- Rückwirkungskennlinie** (Quadrant IV): $U_{BE} = U_{BE}(U_{CE}, I_B) \approx const$

Transistoren als **Vierpole** (z.B. in Emitterschaltung):

$$\begin{array}{l}
 I_1 = Y_{11} \cdot U_1 + Y_{12} \cdot U_2 \quad \cdot \quad \cdot \text{Eingangswiderstand } r_{BE} = 1/Y_{11} \quad \cdot \quad \cdot \quad \cdot Y_{12} \approx 0 \\
 I_2 = Y_{21} \cdot U_1 + Y_{22} \cdot U_2 \quad \cdot \quad \cdot \text{Steilheit } S = Y_{21} \text{ (Verstärkung)} \quad \cdot \quad \cdot \quad \cdot Y_{22} \approx 0
 \end{array}$$

Mit Vektoren und Matrizen: $\vec{I} = \hat{Y} \cdot \vec{U}$ oder $\vec{U} = \hat{H} \cdot \vec{I}$

Analogverstärker

Einstufiger Verstärker (invertierend)

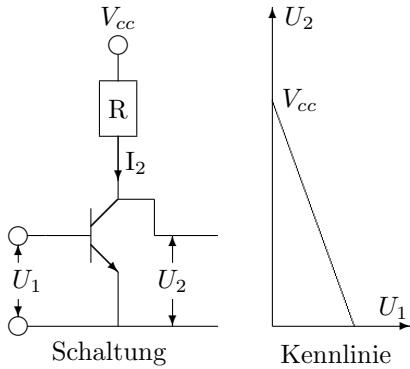


Bild b1p08

$$U_2 = V_{cc} - I_2 R \text{ mit } I_2 = Y_{21} U_1 + 0$$

$$U_2 = V_{cc} - R S U_1$$

1.7.3.3 Schalttransistoren

Sättigungsbetrieb in 2 Zuständen:

- ”gesperrt”: $I_2 \approx 0$ und $U_2 \approx V_{cc}$
- ”leitend” : $U_2 \approx 0$ und $I_2 \approx V_{cc}/R$

Zweistufiger Verstärker (nicht invertierend)

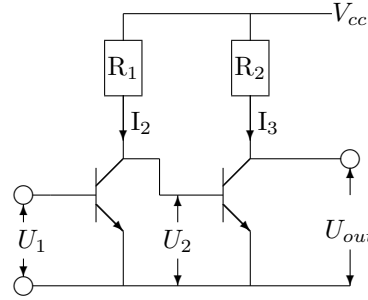


Bild b1p08a

$$U_{out} = V_{cc} - I_3 R_2 \text{ mit } I_3 = Y_{21} U_2 + 0$$

$$U_2 = V_{cc} - I_2 R_1 \text{ mit } I_2 = Y_{21} U_1 + 0$$

$$U_{out} = V_{cc}(1 - R_1 Y_{21}) + R_1 R_2 Y_{21}^2 U_1$$

$$U_{out} = V_{cc}(1 - R S) + R S^2 \cdot U_1$$

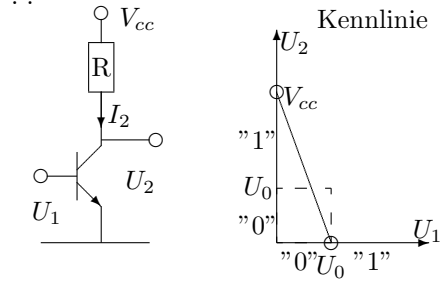


Bild b1p07a

1.7.3.4 Schottky-Dioden und -Transistoren.

Besondere Halbleitertechnologie:
 Dioden mit Halbleiter-Metallkontakten.
 Sehr geringe Schaltzeiten ($< 100ps$)
 und geringe Durchlaßspannung ($< 0.4V$).

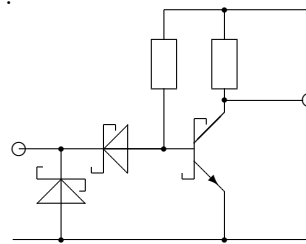


Bild b1p07b

1.7.3.5 Feld-Effekt-Transistoren

Feld-Effekt-Transistoren (FET) besonders kleine Eingangsströme ($I_1 \approx 0$)

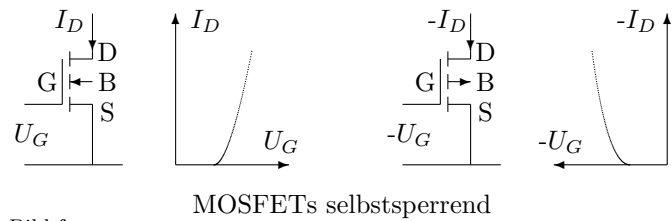
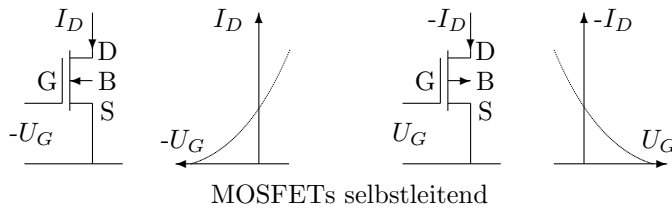
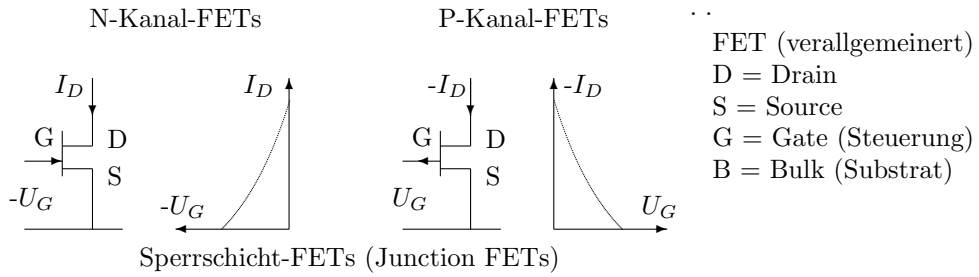


Bild fets

1.7.3.6 Thyristoren

PNPN-Vierschichtdiode mit Zündeletrode (Gate)

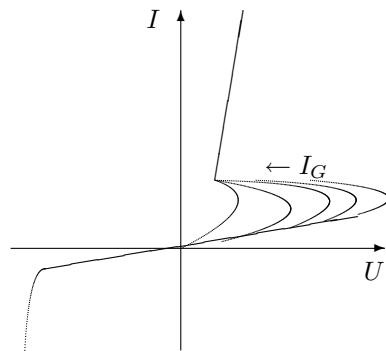
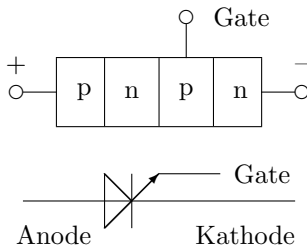
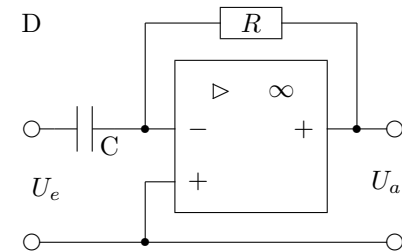
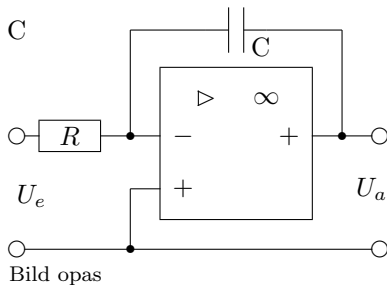
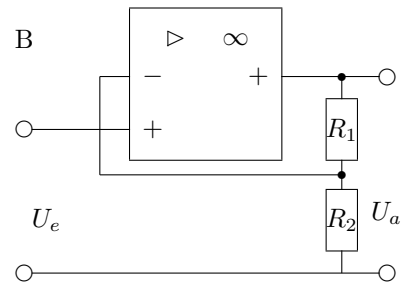
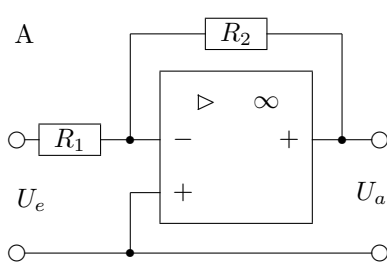
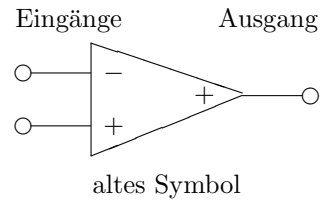
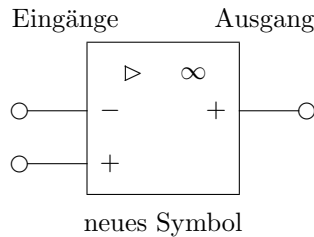


Bild thyrist

1.7.4 Operationsverstärker

Typischerweise integrierte Halbleiterschaltungen



- A** Invertierender Verstärker: $U_a = -\frac{R_2}{R_1} \frac{A\beta}{1+A\beta} U_e \approx -\frac{R_2}{R_1} U_e$
mit Leerlaufverstärkung $A \approx \infty$ und Teilerfaktor $\beta = R_1/(R_1 + R_2)$
- B** Nichtinvertierender Verstärker: $U_a = (1 + \frac{R_1}{R_2}) U_e$
- C** Integrierender Verstärker: $U_a = -\frac{1}{RC} \int_0^t U_e(t') dt'$
- D** Differenzierender Verstärker: $U_a = -RC \frac{dU_e}{dt}$

1.8 Magnetspeicher

1.8.1 Magnetkernspeicher

Ringkernspeicher (Ferritkerne)

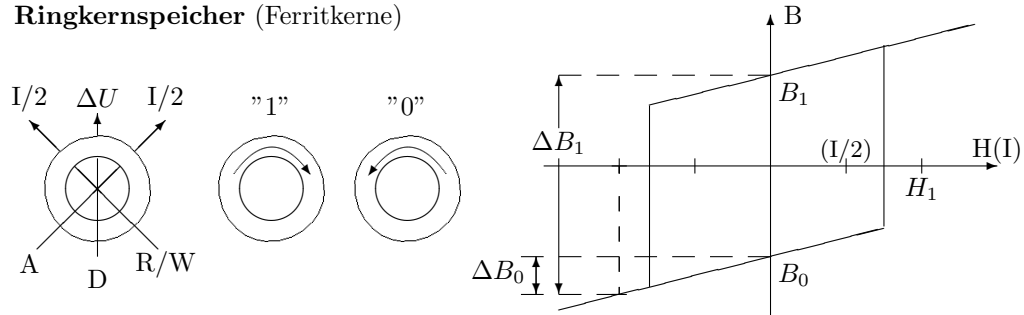


Bild n3p10c

Ferritring (Toroid), durch den 3 Drähte gefädelt sind, zur Adressierung (A), zur Datendarstellung (D) und zum Lesen (R). Die Speicherung erfolgt durch die Restmagnetisierung B_0 , B_1 (Remanenz), die in 2 verschiedene Richtungen zeigen kann. Die Hysteresekurve zeigt den stilisierten Verlauf der Magnetisierung B in Abhängigkeit vom äußeren Feld H , das durch die Ströme (I) in den Drähten A und D erzeugt wird. Die Auswahl (Adressierung) eines Kerns erfolgt dadurch, daß sich die Magnetfelder beider Ströme addieren müssen, um die kritische Feldstärke H_1 zu erreichen.

Beim Lesen wird eine '0' geschrieben, so daß je nach Informationsinhalt ('0' oder '1') eine kleinere (ΔB_0) oder größere (ΔB_1) Flußänderung erzeugt wird, die im Lesedraht (R) einen entsprechenden Spannungsstoß induziert (destruktives Lesen). Anschließend müssen alle '1'-en neu geschrieben werden.

Beim Schreiben werden auch 2 Zyklen verwendet, je einer für die '0'-en und '1'-en.

1.8.2 Magnetplattenspeicher

Magnetische Aufzeichnung

Beim Schreiben wird durch den Schreibstrom (I) ein Magnetfeld erzeugt, welches auf der Magnetschicht eine Magnetisierung (Φ) hinterläßt, deren Richtung die binäre Information repräsentiert.

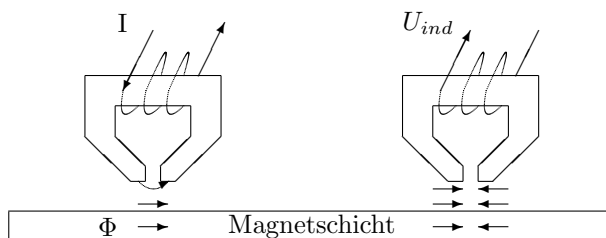


Bild n3p21

Beim Lesen wird an den Stellen, wo ein Flußwechsel in der Magnetschicht angetroffen wird, eine Induktionsspannung erzeugt ($U_{ind} = d\Phi/dt$).

Für die Darstellung von Daten können unterschiedliche Verfahren eingesetzt werden (vgl. DIN 66010):

- Richtungsschrift, NRZ (non return to Zero): Flußwechsel bei Datenwechsel (s.u.)
- Richtungstaktschrift (phase encoding): positiver Flußwechsel bei "1", negativer bei "0" (u.U. werden zusätzliche Flußwechsel eingefügt).
- Wechselschrift (NRZ 1): Flußwechsel bei "1", kein Flußwechsel bei "0".
- Wechseltaktschrift: Flußwechsel für jedes Bit, zusätzlicher Flußwechsel bei "1".

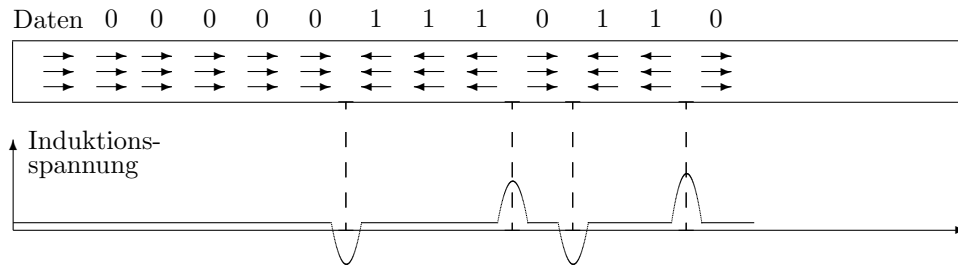


Bild n3p22

Die Darstellung in Richtungsschrift (NRZ) erweist als recht ungünstig, da beim Lesen langer Folgen von gleichartigen Bits kein Lesesignal erzeugt wird.

Aufzeichnungsdichten werden in Bits/mm, bits/inch (bpi) oder Bits/rad gemessen. In Deutschland werden Flußwechsel pro cm bzw. pro Zoll ($1'' = 2.54 \text{ cm}$) oder pro rad ($1 \text{ rad} = 57.3^\circ$, bzw. 1 Umdrehung = $2\pi \text{ rad}$) angegeben. Die Werte liegen zwischen 800 und 10000 bpi bzw. 5 bis 65 Kbit/rad.

Die (radiale) Dichte der Spuren wird in Spuren/cm bzw tracks/inch (tpi) gemessen.

Bei konstanter Aufzeichnungsrate (bits/s) erhält man eine konstante Aufzeichnungsdichte in bit/rad. Wegen der nach außen zunehmenden Radien auf einer Platte wird die lineare Aufzeichnungsdichte (bpi) nach außen abnehmen. d.h. die einzelnen Bits sind weniger dicht gepackt und damit auch weniger stör anfällig.

1.8.3 Magnetbandspeicher

Die Aufzeichnung auf Magnetbänder erfolgt im Prinzip genau so wie bei Magnetplatten, allerdings werden auf einem Band oft mehrere Schreibspuren parallel aufgezeichnet; meist sind es 8 Daten- und eine Prüfspur (z.B. DIN 66015).

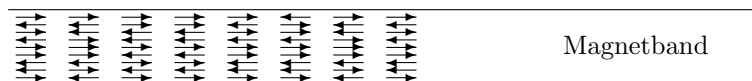


Bild n3p23

Kapitel 2

Grundlagen der Halbleiterphysik

2.1 Grundlagen der Atomphysik

2.1.1 Das Bohr'sche Atommodell

Drehimpulsquantelung der Hüllelektronen: $L_n = J * \omega = n \cdot \hbar$

$$\hbar = h/2\pi = 1.05457266 \cdot 10^{-34} Js$$

Umlaufbahnen: $r_n = n^2 \cdot r_0$

Bohr'scher Radius (innerste Bahn des Wasserstoffatoms) $r_0 = 0,529 \cdot 10^{-10} m$

Gesamtenergie ($W_n = W_{kin} + W_{pot} = -\frac{1}{n^2} \frac{m_e e^4}{8\epsilon_0^2 h^2}$) = negative Bindungsenergie

Lichtquantenemission: $E = h \cdot \nu = W_2 - W_1$ (Linienspektren)

2.1.2 Das Elektron

Elementarladung: $e = 1,6022 \cdot 10^{-19} Cb$

Elektronenmasse: $m_e = 9,11 \cdot 10^{-31} kg$

Eigendrehimpuls des Elektrons $L = \frac{1}{2} \hbar$

Magnetisches Dipolmoment: $\mu_e = 9.28 \cdot 10^{-24} J/T$

2.1.3 Quantenzahlen

Quantenzahlen = Zustandsgrößen der Atomelektronen

Hauptquantenzahl n = Umlaufbahn nach Bohr

Nebenquantenzahl l = Bahndrehimpuls $0 \leq l \leq n - 1$

Magnetquantenzahl m = Stellung des Magnetischen Moments $0 \leq m \leq l - 1$

Spinquantenzahl s = Eigendrehimpuls des Elektrons $s = \pm 1/2$

Gesamtdrehimpuls $\vec{j} = \vec{l} + \vec{s}$

Pauli-Prinzip: In einem (atomaren) System müssen sich alle Elektronen in mindestens einer Quantenzahl unterscheiden.

Periodisches System der Elemente:

Nr	Element	Elektronen	Wertigkeit	Quantenzahlen der Valenzelektronen
1	H Wasserstoff	1s	±1	n=1, l=0, s = 1/2
2	He Helium	1s ²	(2)0	n=1, l=0, s _{1,2} = ±1/2
3	Li Lithium	1s ² , 2s	1	n=2, l=0, s ₃ = 1/2
4	Be Beryllium	1s ² , 2s ²	2	n=2, l=0, s _{3,4} = ±1/2
5	B Bor	1s ² , 2s ² , 2p	3(-5)	n=2, l=1, s ₅ = 1/2
6	C Kohlenstoff	1s ² , 2s ² , 2p ²	±4	n=2, l=0,1, s _{5,6} = 1/2
7	N Stickstoff	1s ² , 2s ² , 2p ³	5(-3)	n=2, l=0,1, s _{5,6,7} = 1/2

2.1.4 Materiewellen

Welle-Teilchen-Dualismus

Einstein (1905): Energie eines Lichtquants mit der Wellenlänge ($\lambda = c/\nu$) $E = h\nu$

Einstein (1905): Masse eines Lichtquants (Photons) aus der Ruhenergie $E = mc_0^2$

DeBroglie (1923): Wellenlänge eines bewegten Teilchens mit Impuls $p = mv$: $\lambda = h/p$
(Nachweis: Beugung von Elektronen an Lochblende, Ruska \sim 1950)

2.1.5 Die Heisenbergsche Unschärferelation

Ortsunschärfe * Impulsunschärfe $\Delta x \cdot \Delta p \geq h/2\pi$ (Nachweis: Tunneleffekt)

Dies gilt für alle Paare von physikalischen Größen, deren Produkt die Dimension (Maßeinheit) einer Wirkung (Energie * Zeit) haben.

2.1.6 Das Schrödinger'sche Atommodell

Aufenthaltswahrscheinlichkeit eines Teilchens (z.B. Atomhüllenelektron): $|\Psi(x, y, z, t)|^2$
als Lösung der Schrödingergleichung (DGL): $\frac{\hbar^2}{8\pi^2m} \Delta \Psi + (E - V(r))\Psi = 0$
im Coulombpotential $V(r)$; die Lösungen sind Eigenfunktionen nur für bestimmte, diskrete Energiewerte $E(n)$ (Eigenwerte)

Z.B. alle s-Elektronen ($l = 0$, d.h. kein Bahndrehimpuls) haben eine Kugelverteilung, die ihr Maximum im Zentrum, d.h. im Atomkern hat.

$$|\Psi_n^0(r)|^2 \sim n^{-3} e^{-x} \left[\sum_{m=0}^{n-1} \binom{n}{1+m} \left(\frac{-2x}{m!} \right)^m \right]^2 \text{ mit } x = r/nr_0$$

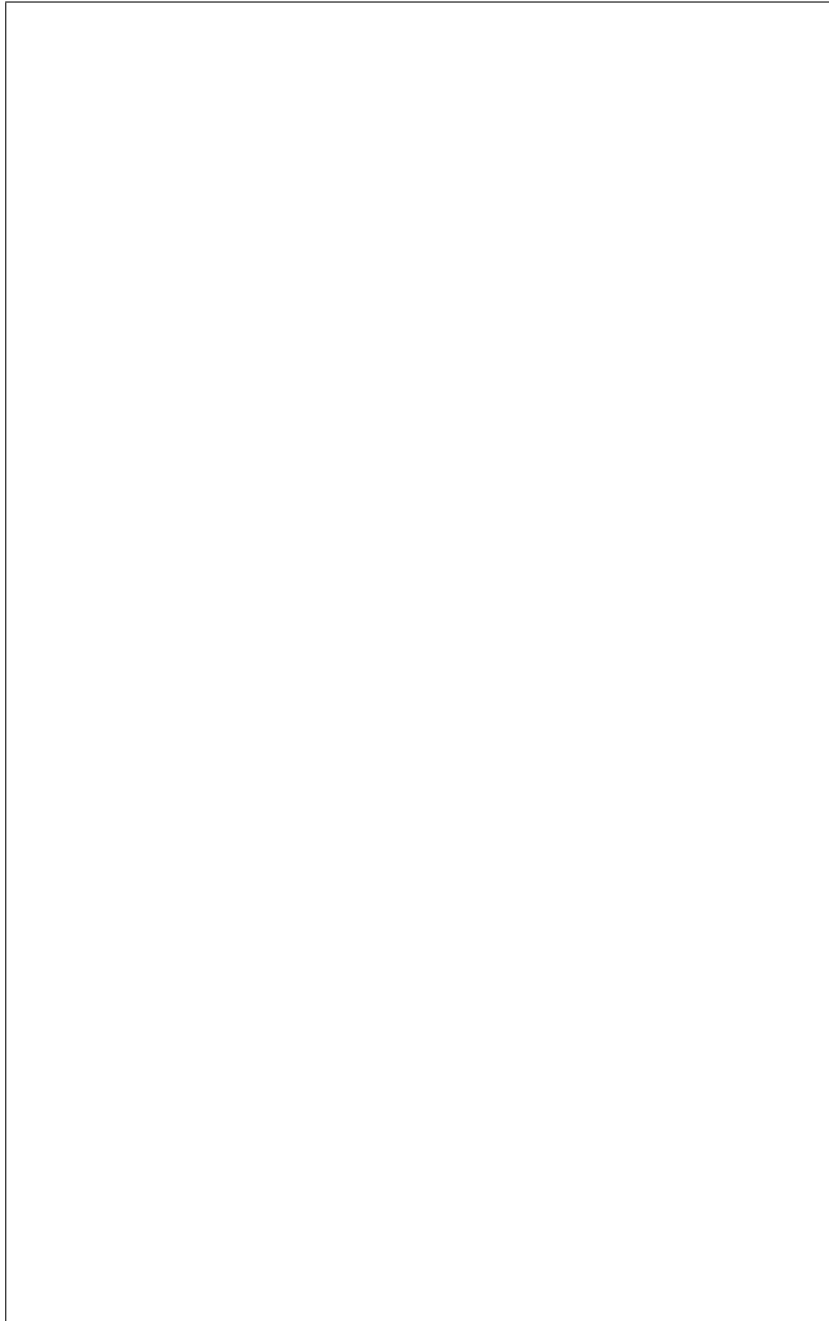
Die radialen Aufenthaltswahrscheinlichkeiten $W_n(r) = 4\pi r^2 |\Psi_n^0|^2$ zeigen Maximalwerte etwa bei den Bohr'schen Bahnen r_n

2.1.7 Der Tunneleffekt

Da alle (bewwgten) Teilchen durch Wellenfunktionen beschrieben werden können, die einen "exponentiellen Ausläufer" haben, reichen alle Teilchen (theoretisch) bis ins Unendliche, sie machen auch vor Hindernissen keinen Halt, sondern werden an solchen wie Wellen (total) reflektiert, bis auf einen exponentiell abklingenden Anteil, der in das Hindernis eindringt und auch wieder herauskommt, falls das Hindernis endlich dick ist. Anwendung im Tunnelelektronenmikroskop.

2.2 Festkörper

2.2.1 Das Bändermodell



Überlappung
der Elektro-
nenbahnen
erzeugt
Bänder

band2.pcx

2.2.2 Kontaktpotentiale

2.2.2.1 Metalle

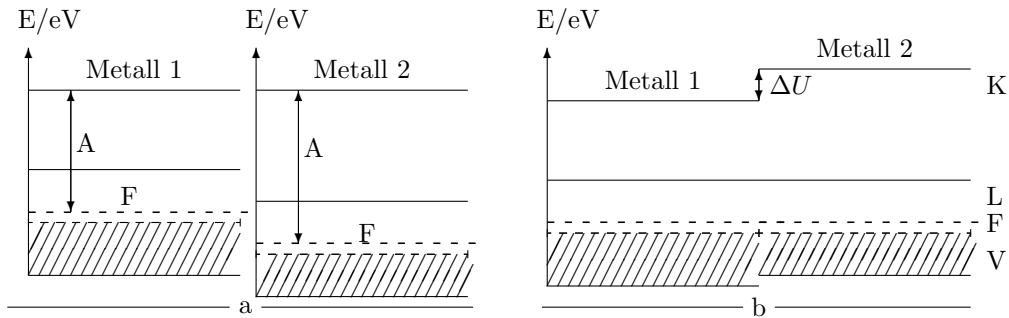


Bild b2p03a

Unterschiedliche Metalle haben unterschiedliche Austrittsarbeiten (A), Valenzbänder (V), Leitungsband (L) und Fermikanten (F)

Bei Kontakt werden die Fermi-Niveaus angeglichen; es entsteht eine Potentialdifferenz (Kontaktspannung) ΔU wegen der unterschiedlichen Austrittsarbeiten

2.2.2.2 Halbleiter

Leitungsvorgänge in Halbleitern

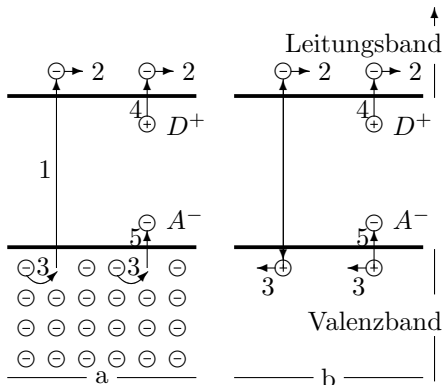


Bild b2p03c

- a) Elektronendarstellung;
- b) Elektron-Loch-Darstellung
1. Elektronenbefreiung (z.B. thermisch)
2. Elektronenwanderung
(durch ein angelegtes elektrisches Feld)
3. Löcherwanderung
4. Elektronenabgabe durch Donator
5. Elektronenaufnahme
(und Locherzeugung) durch Akzeptor

Sperrschicht am p-n-Übergang (Halbleiterdiode)

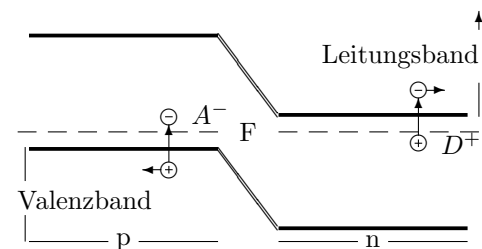


Bild b2p03d

Durch die unterschiedlichen Fermi-Niveaus (F) in den unterschiedlich dotierten Bereichen entsteht eine innere Kontaktspannung, die durch eine äußere Spannung U_S überwunden werden muß.

Inhaltsverzeichnis

1	Grundlagen der Digitalelektronik	1
1.1	Boole'sche Algebra	1
1.1.1	Definition	1
1.1.2	Boole'sche Funktionen	2
1.1.3	Normalformen	3
1.1.3.1	Disjunktive Normalform	3
1.1.3.2	Konjunktive Normalform	3
1.1.3.3	Beispiel	3
1.1.4	Karnaugh-Veitch-Diagramme (KV-Diagramme)	4
1.2	Elektrotechnische Grundlagen	5
1.2.1	Zweipole	5
1.2.2	Schalter	6
1.2.3	Verknüpfungen	6
1.2.4	Relais	7
1.2.5	Transistoren	7
1.2.6	Schalttransistoren	8
1.3	Logische Schaltungen	9
1.3.1	Elementare logische Schaltungen	9
1.3.1.1	Inverter (NOT)	9
1.3.1.2	Zweistellige Gatter	10
1.3.1.3	Mehrstellige Gatter	10
1.3.1.4	Schaltnetze für Boole'sche Funktionen	11
1.3.2	Rechnerbausteine	12
1.3.2.1	Addierer	12
1.3.2.2	Multiplexer	13
1.3.2.3	PROM	14
1.3.2.4	PAL	14
1.4	Sequentielle Schaltungen	15
1.4.1	Zeitverhalten	15
1.4.2	Bistabile Schaltungen	16
1.4.3	Register	19
1.5	Schaltungstechniken	22
1.5.1	Klassische Bauelemente	23

1.5.2	TTL, Transistor-Transistor-Logik	23
1.5.3	ECL, Emitter-Coupled-Logic	24
1.5.4	CMOS	24
1.5.5	Kompatibilität	25
1.5.6	Parallelschaltung	25
1.6	Leiter und Isolatoren	26
1.6.1	Ohm'sche Widerstände	26
1.6.2	Varistoren	26
1.6.3	Sensitive Widerstände, Sensoren	26
1.6.4	Isolatoren	26
1.7	Aktive Bauelemente	27
1.7.1	Relais	27
1.7.2	Elektronenröhren	27
1.7.2.1	Dioden	27
1.7.2.2	Trioden	28
1.7.2.3	Pentoden	28
1.7.2.4	Hexoden	28
1.7.2.5	Bildröhren	29
1.7.3	Halbleiter	30
1.7.3.1	Dioden	30
1.7.3.2	Transistoren	31
1.7.3.3	Schalttransistoren	33
1.7.3.4	Schottky-Dioden und -Transistoren	33
1.7.3.5	Feld-Effekt-Transistoren	34
1.7.3.6	Thyristoren	34
1.7.4	Operationsverstärker	35
1.8	Magnetspeicher	36
1.8.1	Magnetkernspeicher	36
1.8.2	Magnetplattenspeicher	36
1.8.3	Magnetbandspeicher	37
2	Grundlagen der Halbleiterphysik	39
2.1	Grundlagen der Atomphysik	39
2.1.1	Das Bohr'sche Atommodell	39
2.1.2	Das Elektron	39
2.1.3	Quantenzahlen	39
2.1.4	Materiewellen	40
2.1.5	Die Heisenbergsche Unschärferelation	40
2.1.6	Das Schrödinger'sche Atommodell	40
2.1.7	Der Tunneleffekt	40
2.2	Festkörper	41
2.2.1	Das Bändermodell	41
2.2.2	Kontaktpotentiale	42
2.2.2.1	Metalle	42
2.2.2.2	Halbleiter	42